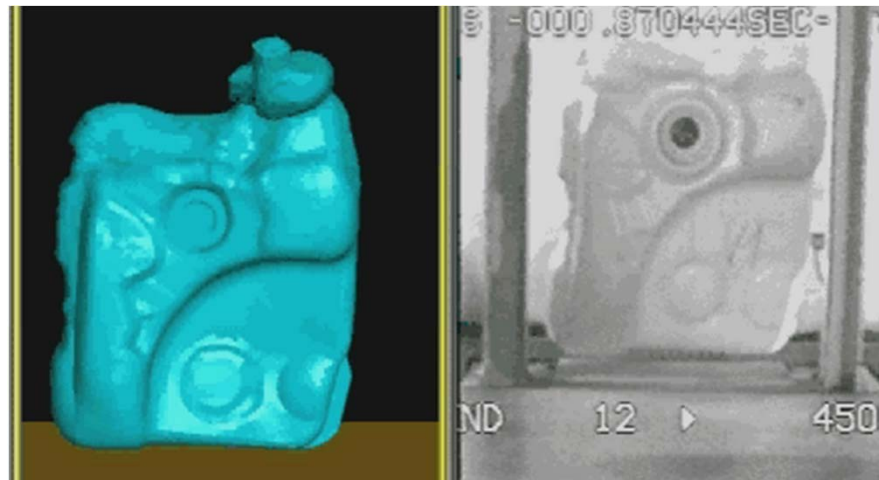


Einfluss der Materialmodellierung von thermoplastischen Kunststoffen auf Ergebnisse von numerischen Falltests



■ Motivation

- Was ist das besondere an einer Falltestsimulation?
- Erfahrungen aus der Praxis → Fallstricke

■ Materialverhalten von Kunststoffen – BASF ULTRASIM™

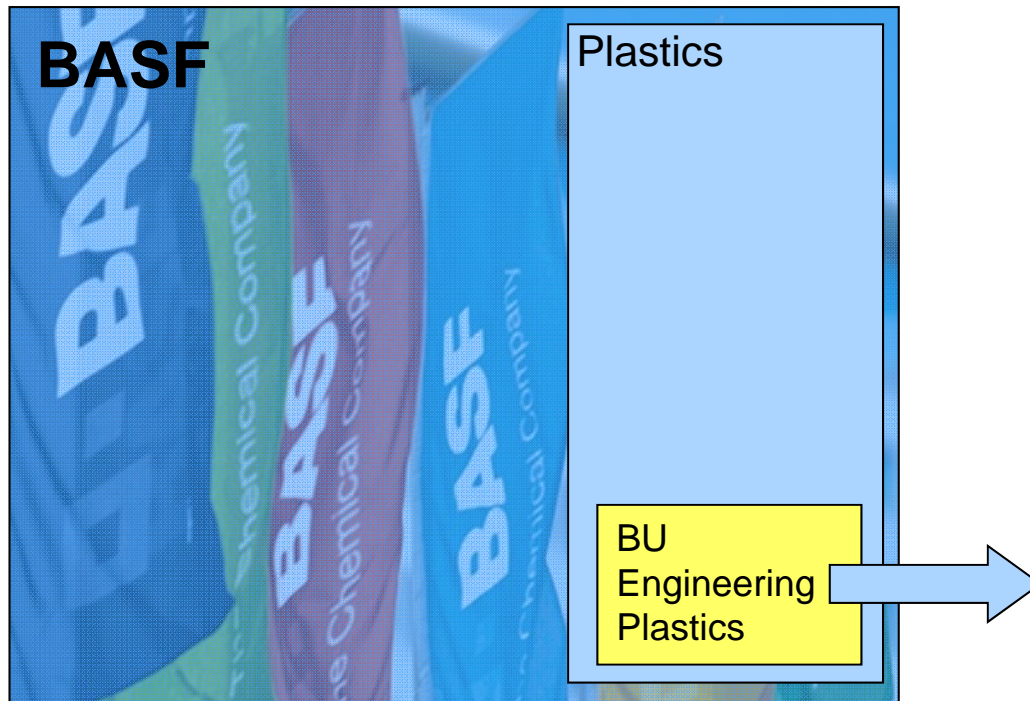
- Faserorientierung
- Dehnratenabhängigkeit
- Asymmetrie in Zug-Druck
- Anisotropie
- Versagensmodellierung

■ Ausgewählte Beispiele

■ Diskussion

BASF and CAE?

BASF – The Chemical Company



Thermoplastic Materials + Customer Support:

-
- Application Development Services
 - Material Modelling
 - Mechanical Analyses
 - Filling Analyses
-
-

CAE

■ Was ist das besondere an einer Falltestsimulation?

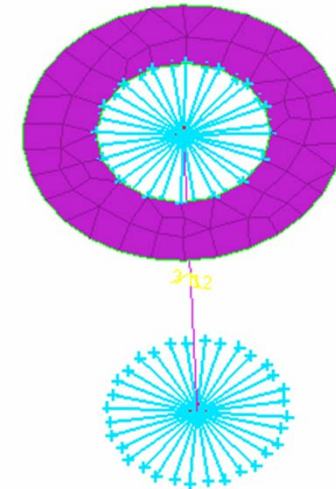
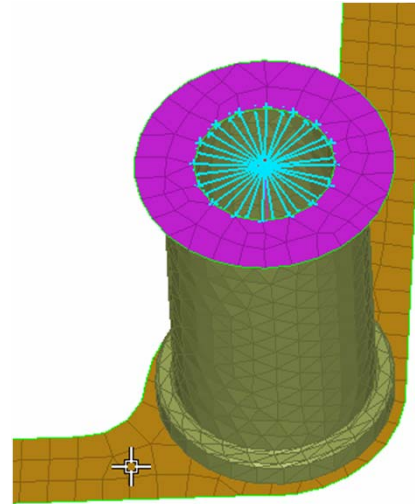
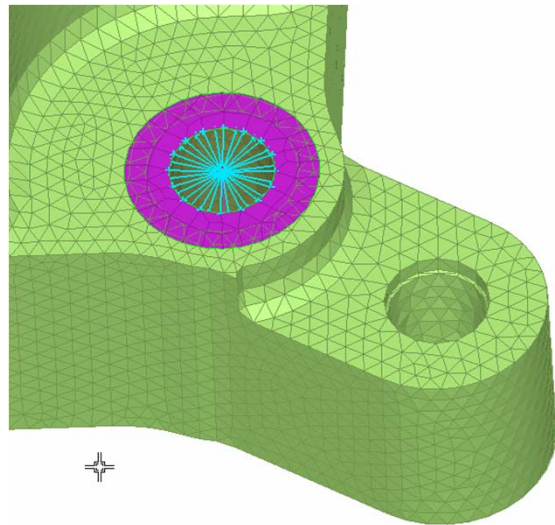
- Kinematisch anspruchsvoll
 - Kontaktabbildung, Postprocessing

● Simplifikationen sind erschwert!

- Verbindungsmodellierung (Schrauben, Kleben, ...)
- **Abbildung von Material und Versagen ist eine zentrale Aufgabe**
 - Nichtlinearitäten, Anisotropie, ...
- Lokale Größen dominieren
 - Netzfeinheit und Netzgüte

- - Resultat Absenkung → Steifigkeit → globale Größe
 - Resultat Versagen → Failure-Wert → lokale Größe

Vereinfachung Schraube

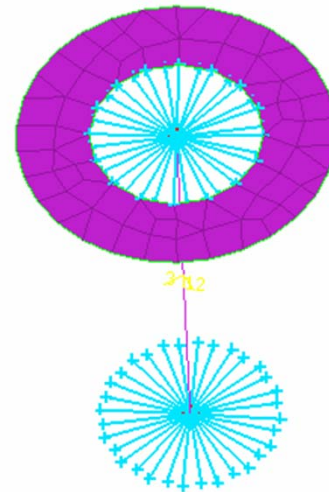
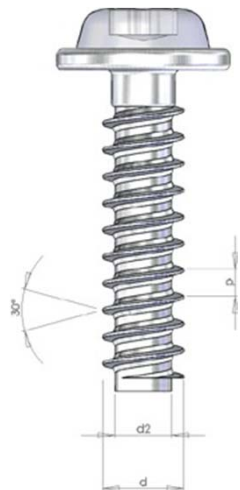
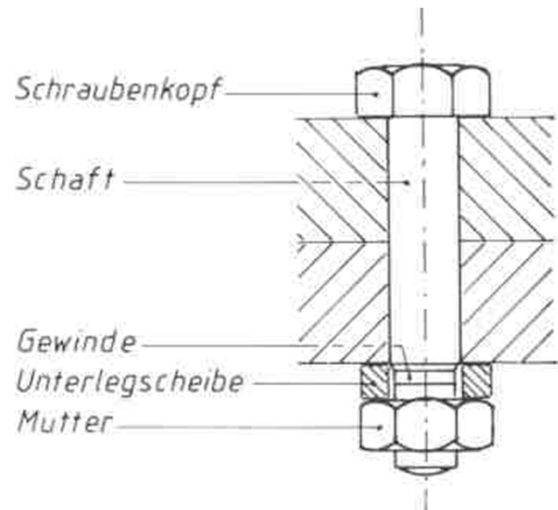


Schraube ist geometrisch nicht vorhanden!

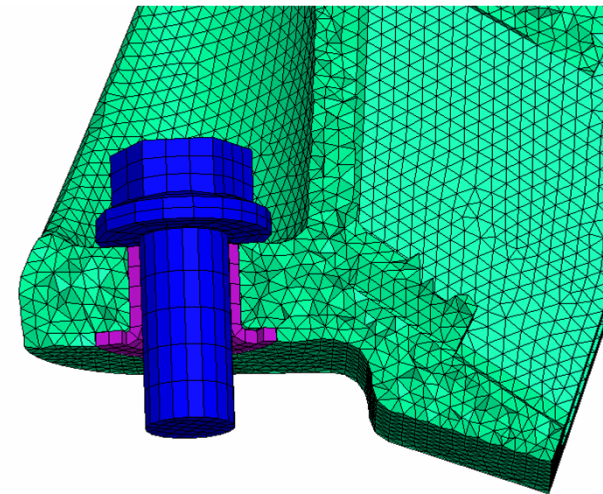
Probleme:

- Krafteinleitung
- was passiert nach dem Versagen?

Vereinfachung Schraube



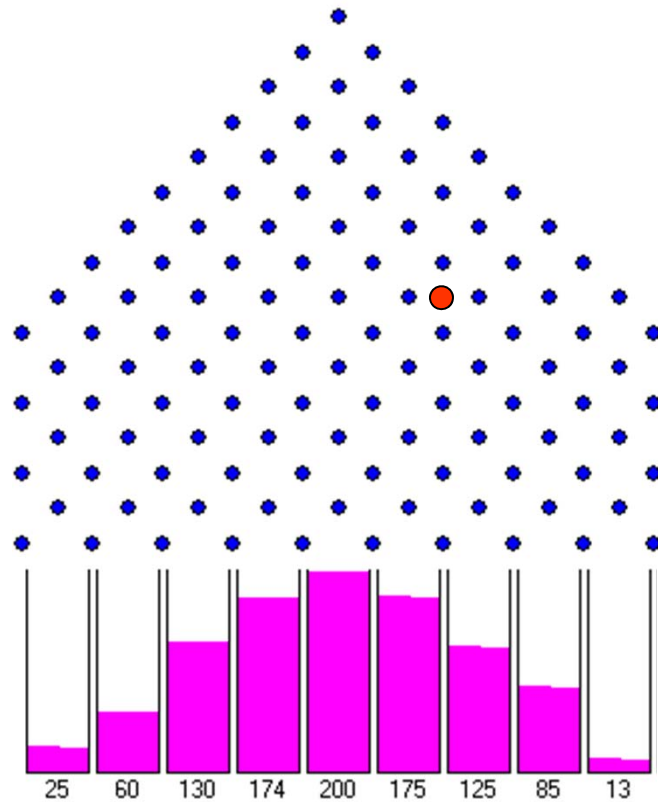
vereinfacht



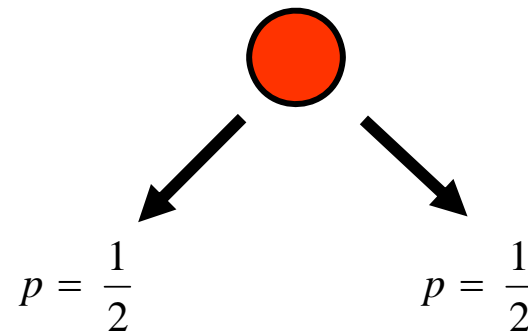
geometrisch korrekt

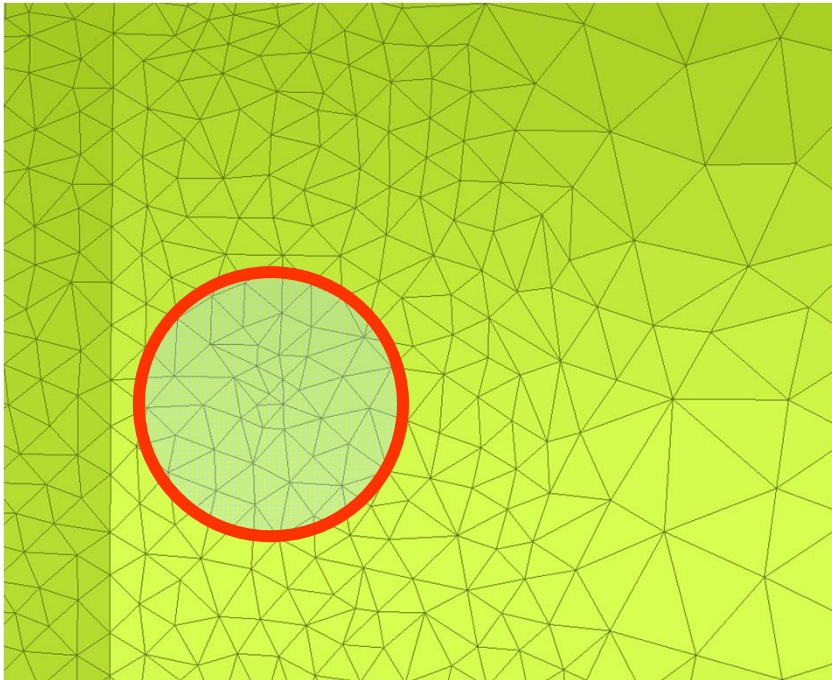
Gefahr: Bifurkation durch nichtphysikalisches Verhalten
Lösung schlägt einen anderen Pfad ein!

Galton Brett Pfadabhängigkeit



Bifurkation (Gabelung)

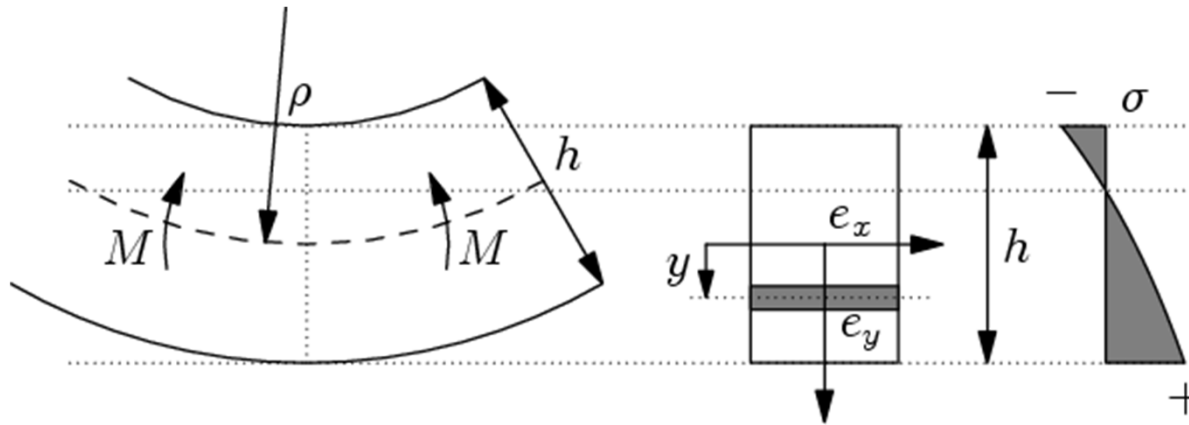




Resultat Absenkung → Steifigkeit →
globale Größe
Resultat Versagen → Failure-Wert →
lokale Größe

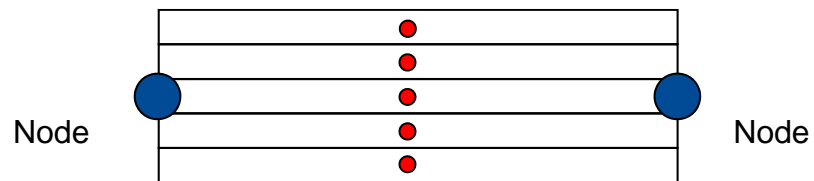
- Numerischer Einfluss schlechter Elemente kann dominieren
- Solidelemente → Netzchecks im Inneren beachten!

Netzeinfluss - Netzfeinheit

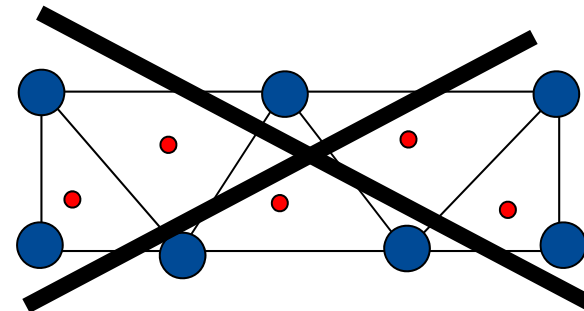


Schale unter Biegung

Shell-Element



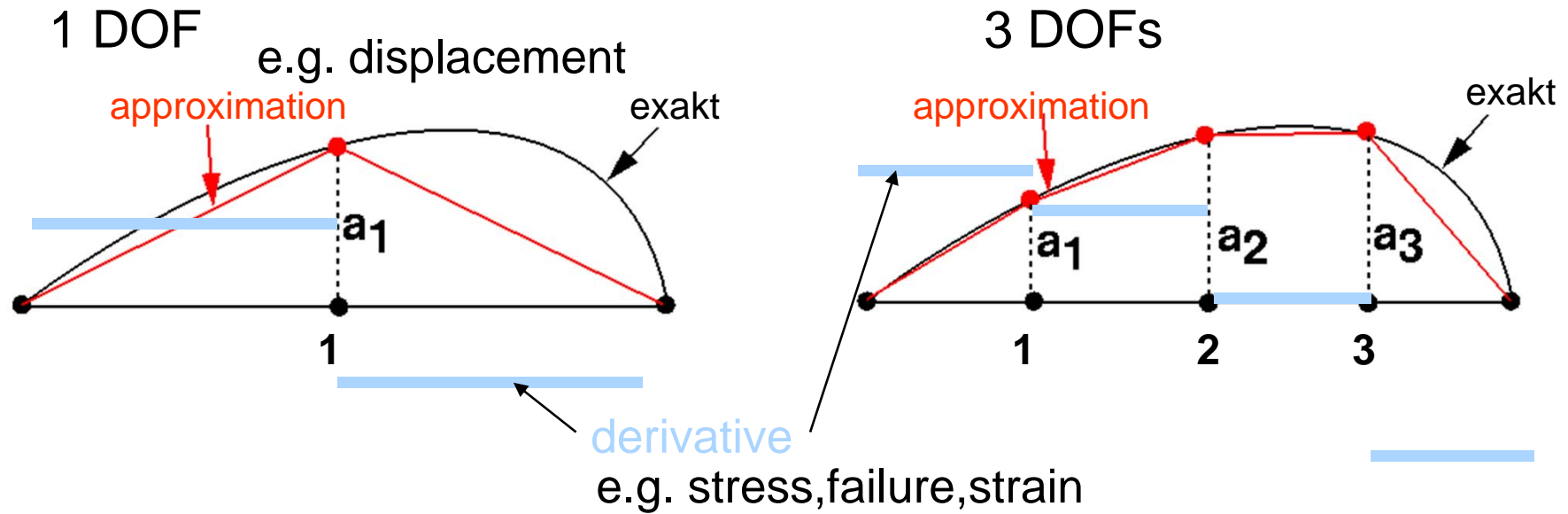
Solid-Element



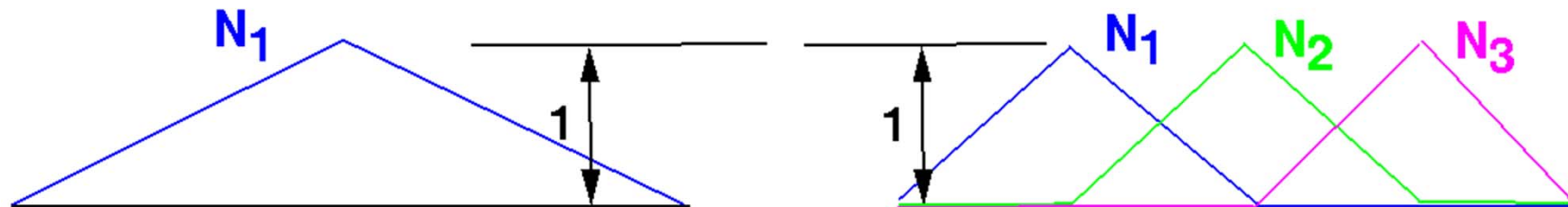
● Integration Point

Netzfeinheit

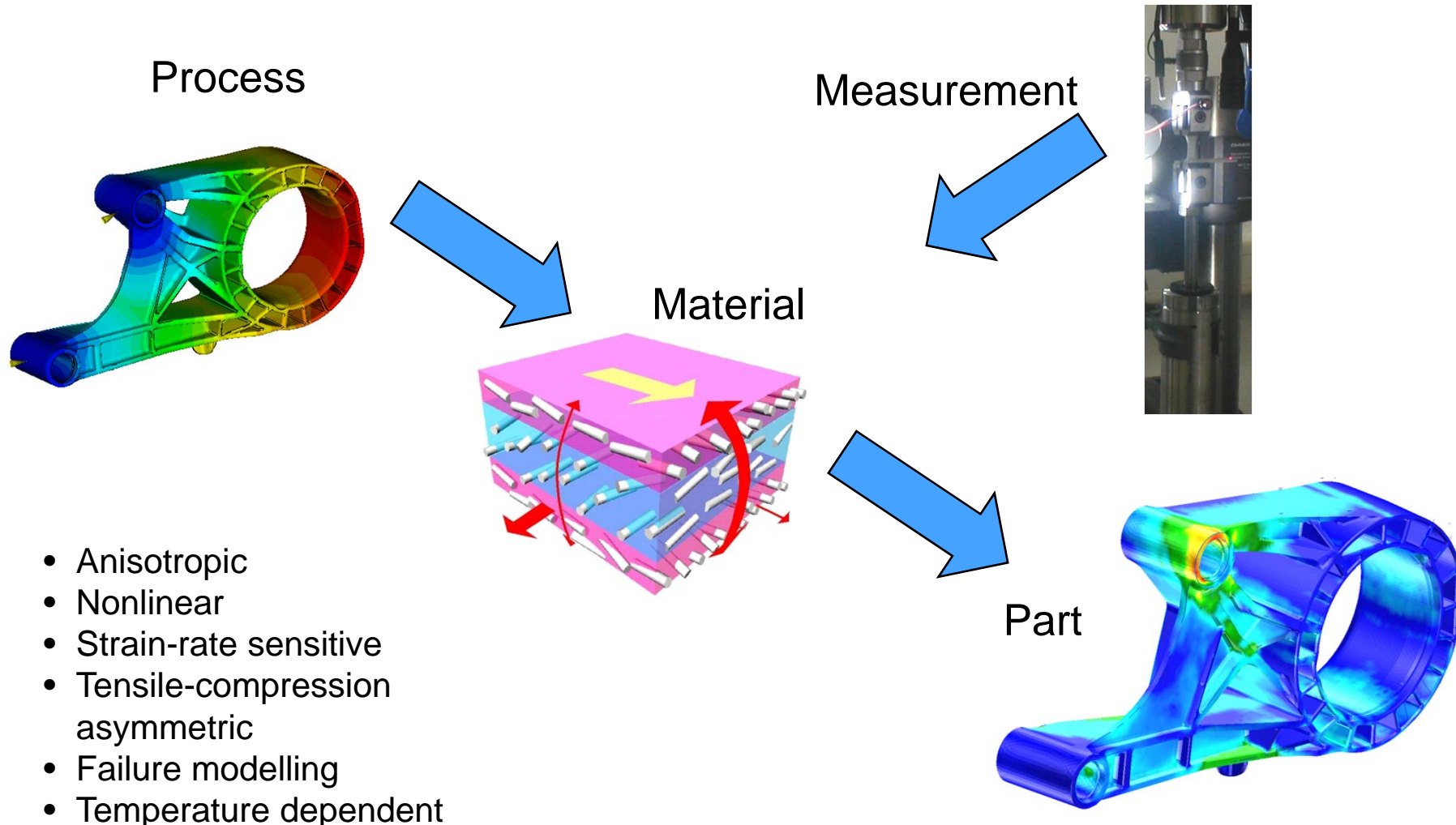
Finite Element approximation
Linear Interpolation 1-dimensional



Shape function

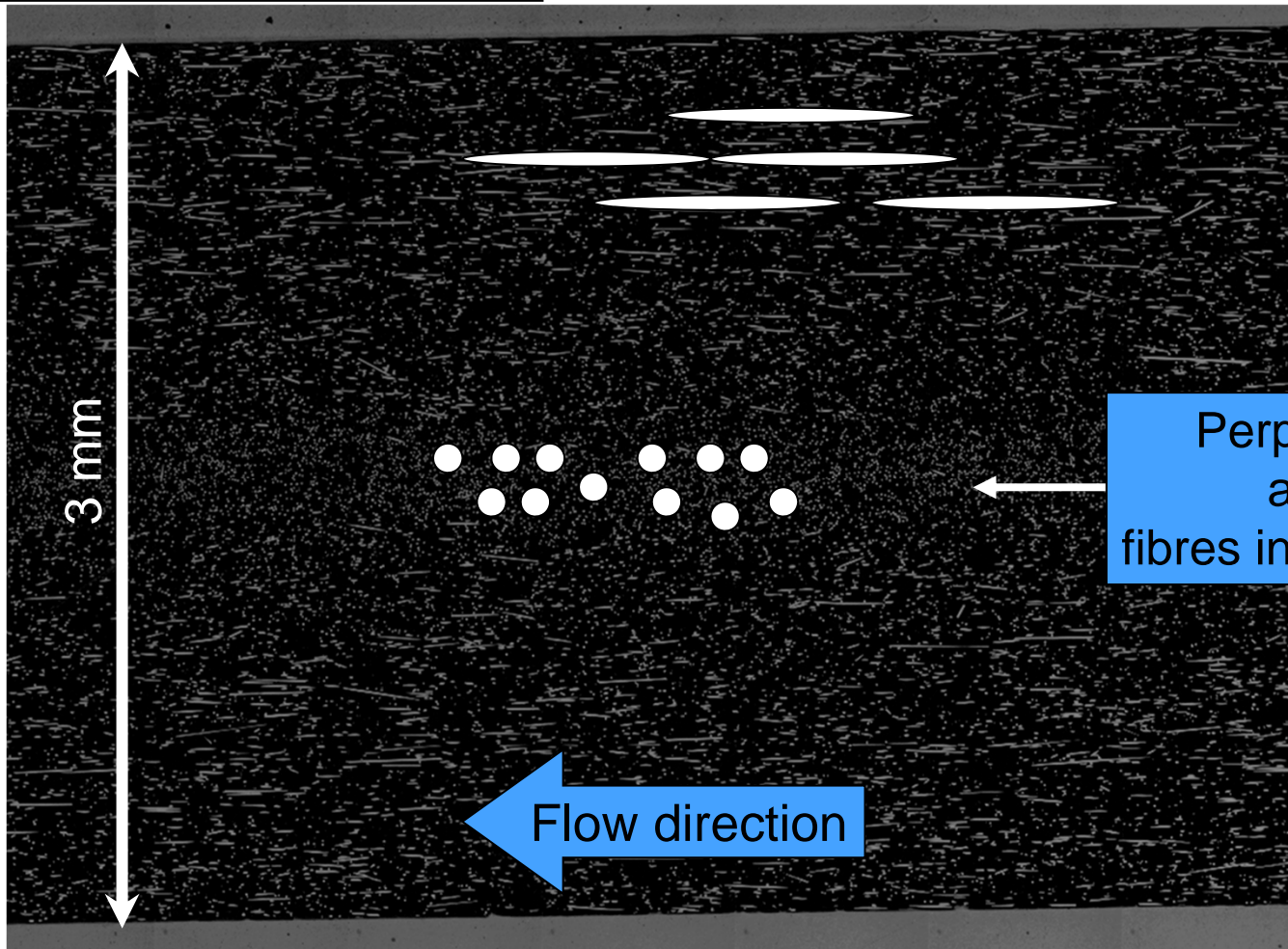


Integrative Simulation ULTRASIM™ for short fiber reinforced thermoplastics



Cross section PA GF30

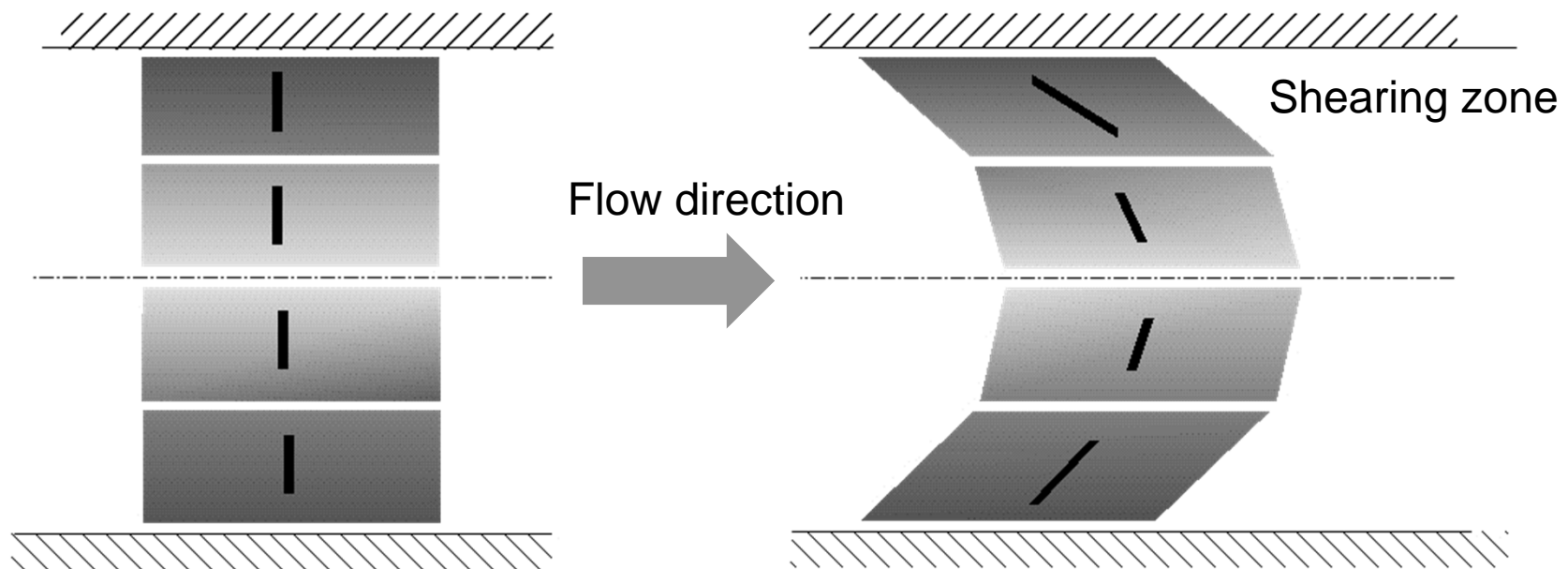
Flow aligned fibres near tool walls



Perpendicular aligned fibres in middle layer

Evolution of Fiber Orientation in Mould Filling Process

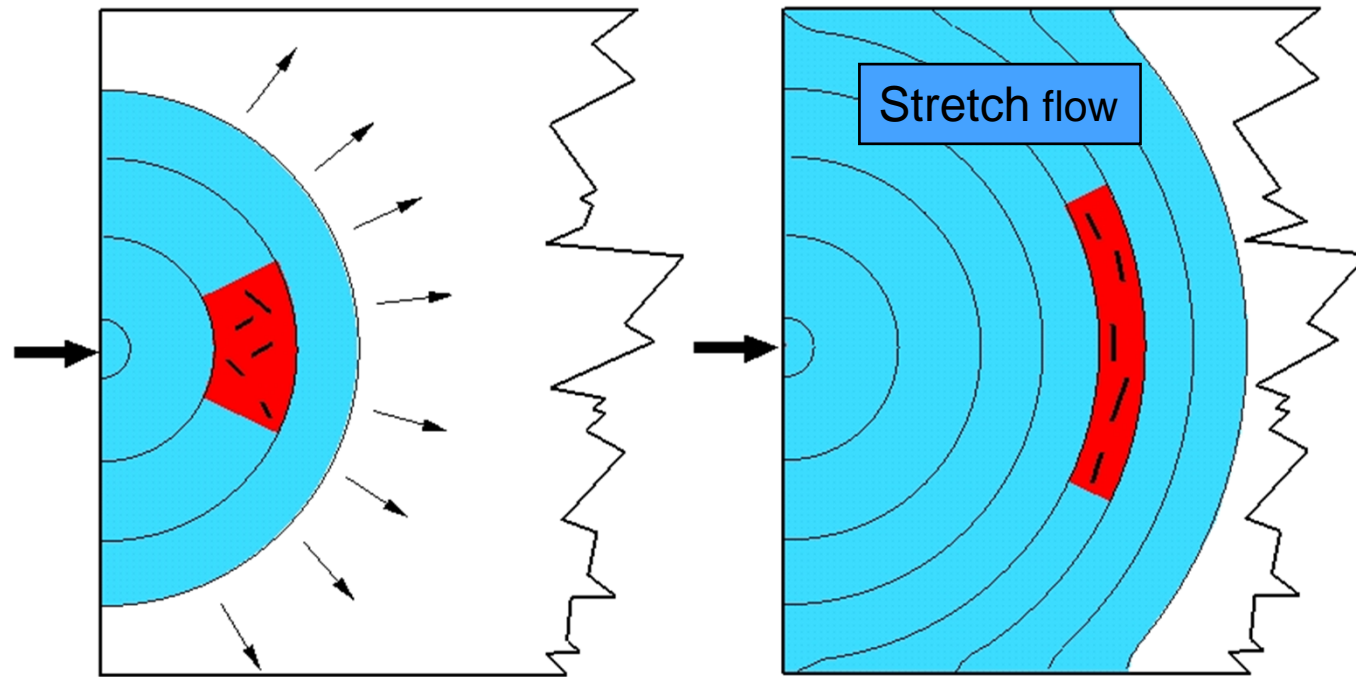
Cross sectional view



Due to shearing in the boundary layers
the fibers are oriented in flow direction

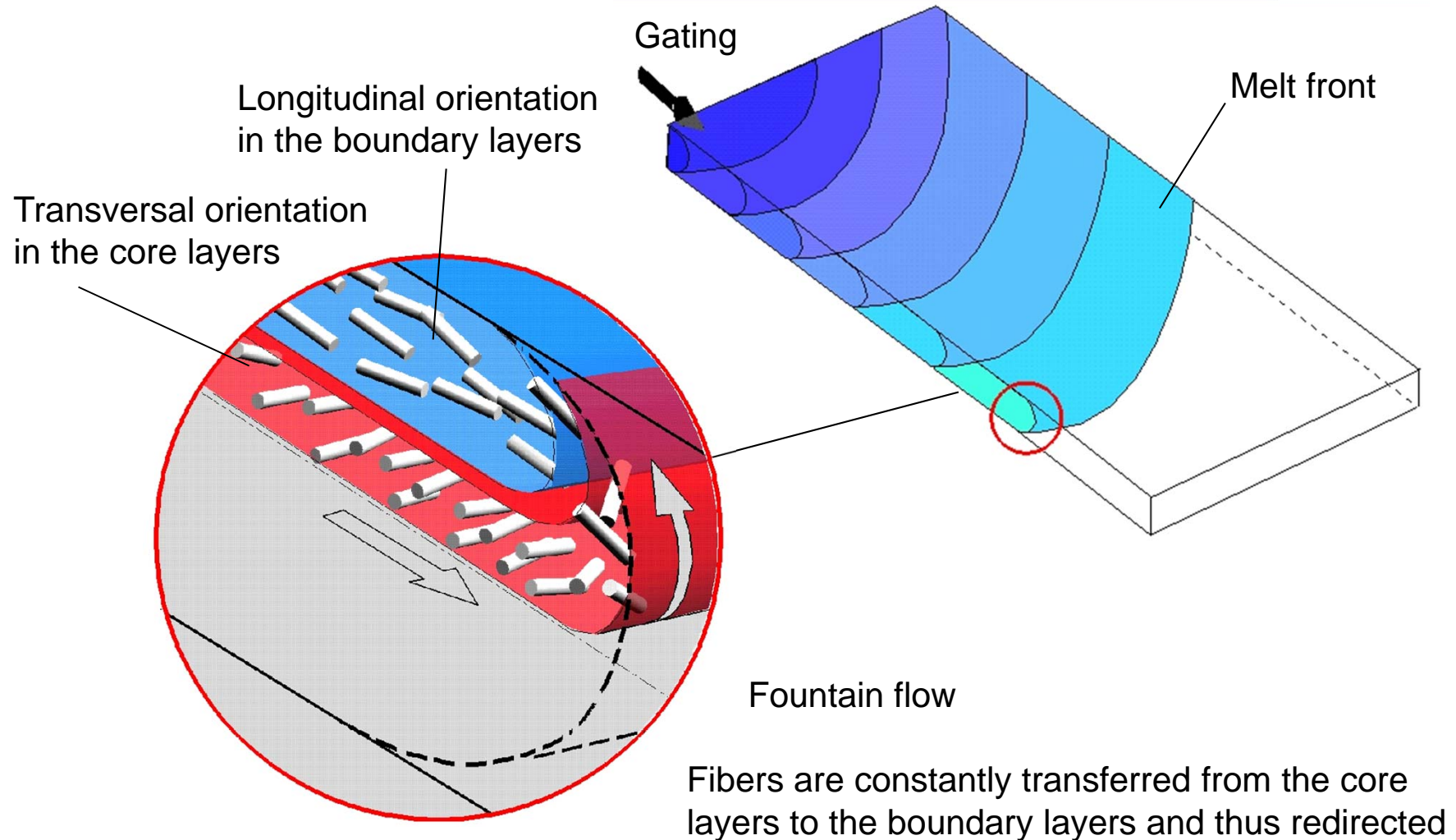
Evolution of Fiber Orientation in Mould Filling Process

Upper view

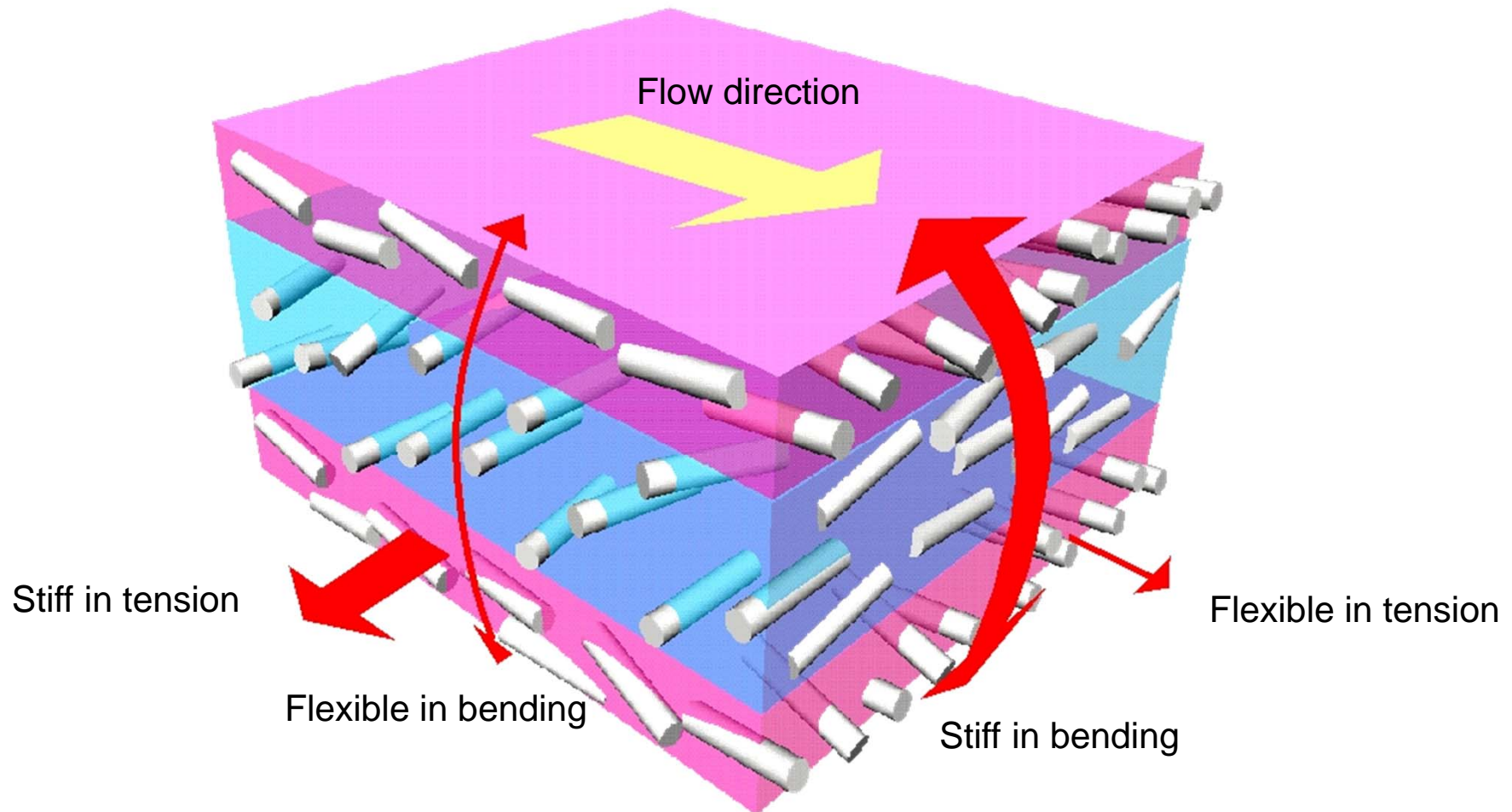


Fibers are being oriented in stretching direction

Evolution of Fiber Orientation in Mould Filling Process

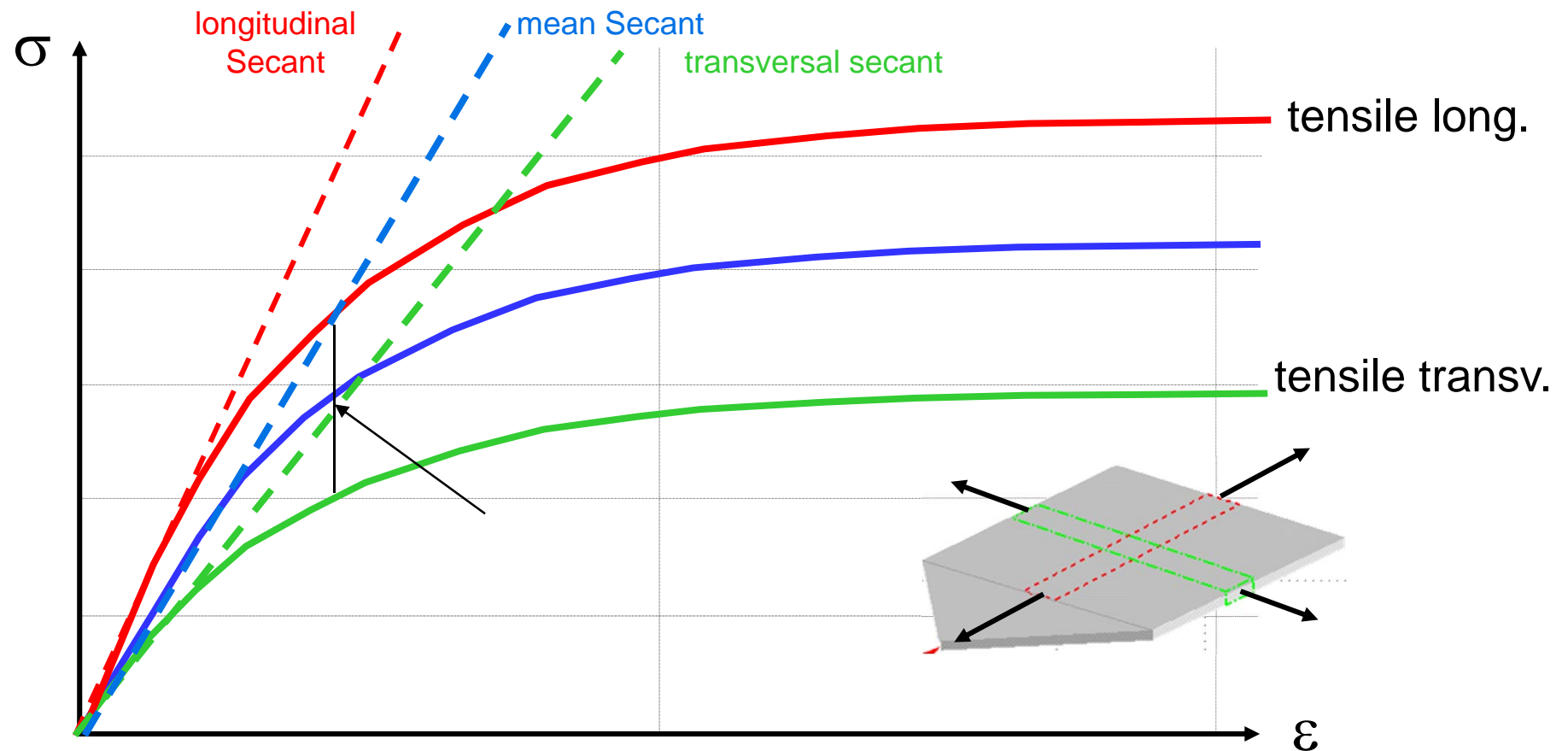


Mechanical behaviour of anisotropic layered shells



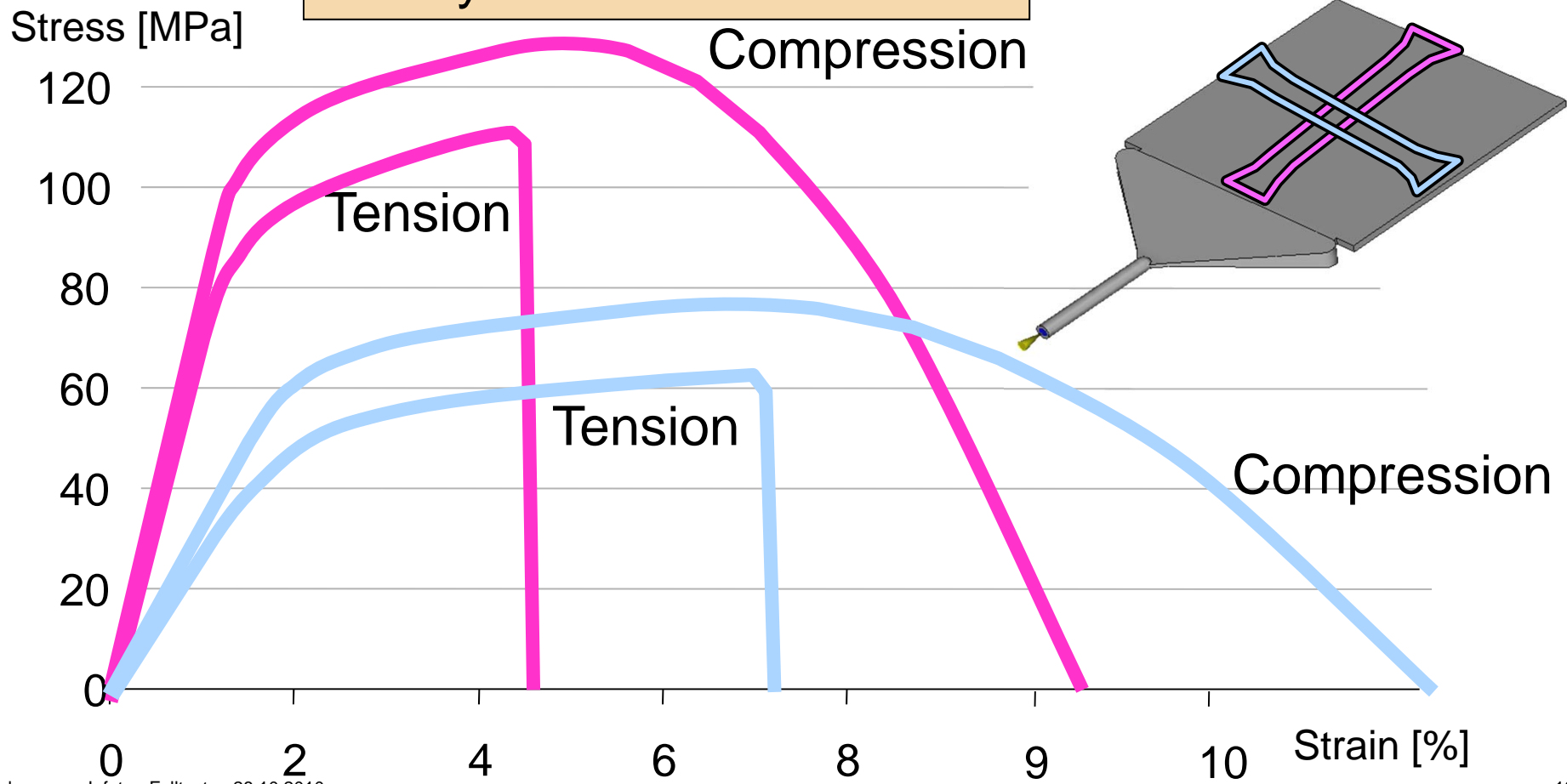
Motivation for Anisotropic Material Modelling

Anisotropy due to fiber orientation



Fiber reinforced Polymer, Stress-Strain

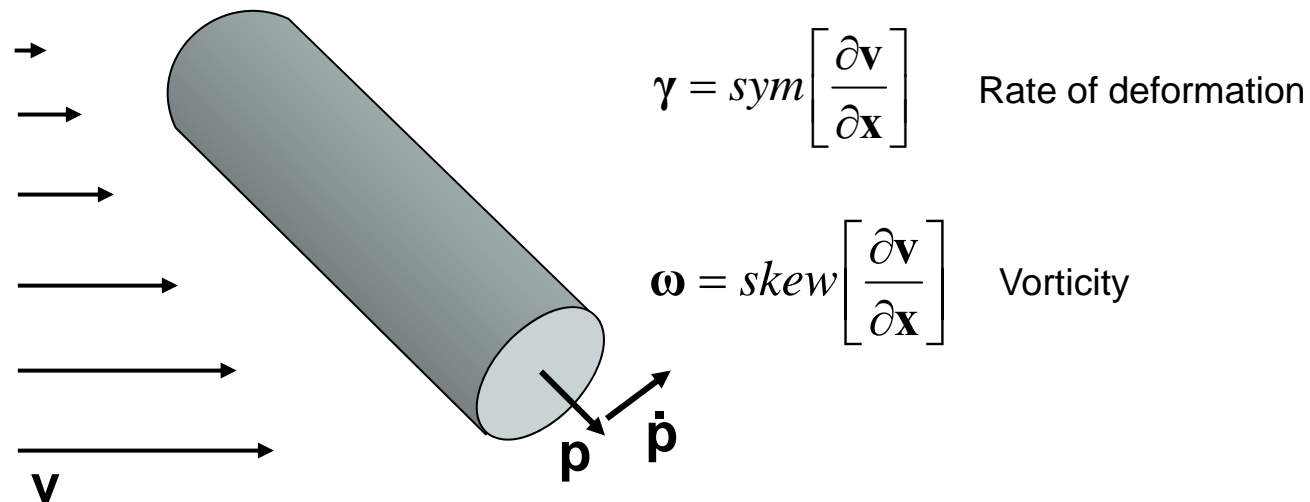
influence: fiber orientation
and hydrostatic stress state



Evolution of fiber orientation

Jefferey 1922

$$\dot{\mathbf{p}} = -\boldsymbol{\omega} \cdot \mathbf{p} + \lambda (\boldsymbol{\gamma} \cdot \mathbf{p} - (\mathbf{p} \cdot \boldsymbol{\gamma} \cdot \mathbf{p}) \mathbf{p}) - \frac{D_r}{\psi} \frac{\partial \psi}{\partial \mathbf{p}} \quad ; \quad \lambda = \frac{(l/d)^2 - 1}{(l/d)^2 + 1}$$



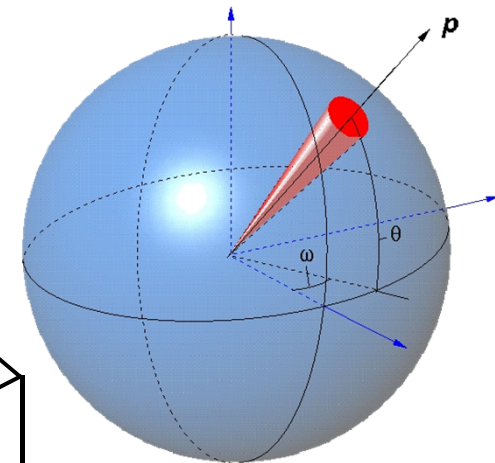
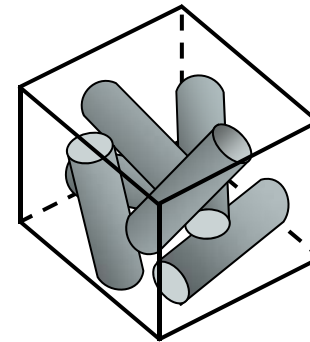
Orientation distribution function

Orientation tensors

$$\mathbf{a} = \int \mathbf{p} \otimes \mathbf{p} \psi(\mathbf{p}) d\omega$$

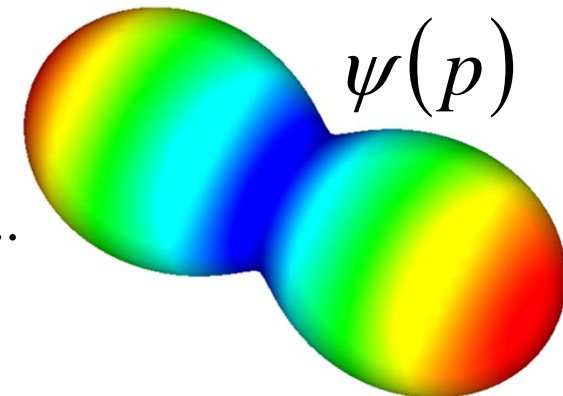
$$\mathbf{a}^4 = \int_{\omega} \mathbf{p} \otimes \mathbf{p} \otimes \mathbf{p} \otimes \mathbf{p} \psi(\mathbf{p}) d\omega$$

(Tucker 1987)



Taylor expansion of ODF

$$\begin{aligned} \psi(\mathbf{p}) = & \frac{1}{4\pi} + \frac{15}{8\pi} + dev(\mathbf{a}) : dev(\mathbf{p} \otimes \mathbf{p}) \\ & + \frac{315}{32\pi} dev(\mathbf{a}^4) :: dev(\mathbf{p} \otimes \mathbf{p} \otimes \mathbf{p} \otimes \mathbf{p}) + \dots \end{aligned}$$



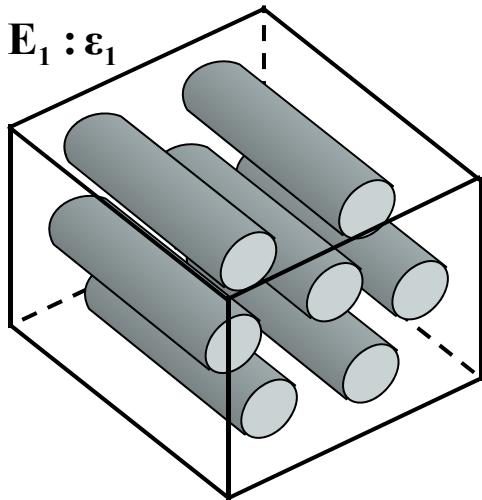
Homogenization of fibers and polymer

Mean Field Theory

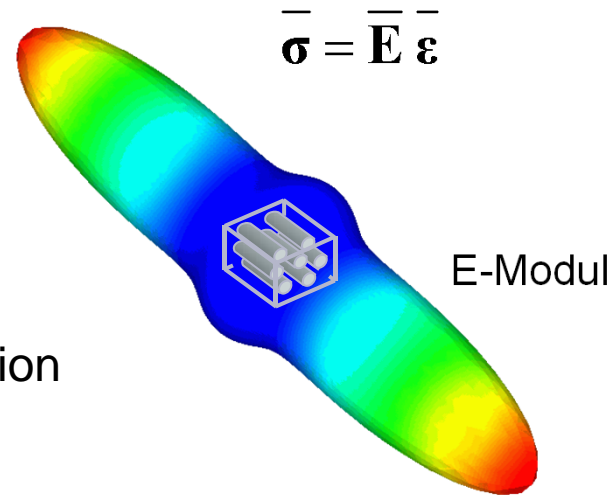
(Mori and Tanaka, Tandon and Weng)

$$\sigma_0 = \mathbf{E}_0 : \varepsilon_0$$

$$\sigma_1 = \mathbf{E}_1 : \varepsilon_1$$



Homogenization



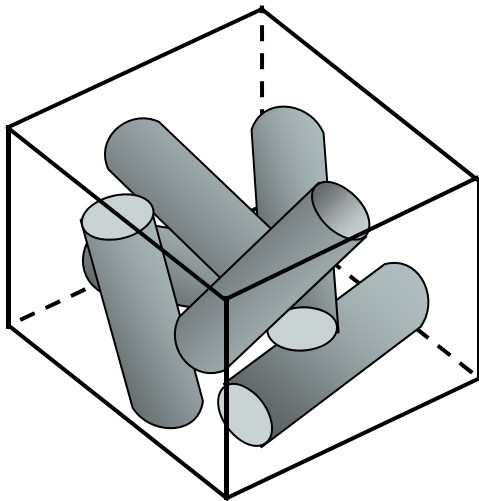
$$\bar{\sigma} = \bar{\mathbf{E}} \bar{\varepsilon}$$

$$\bar{\mathbf{E}} = \left[c_1 \mathbf{E}_1 : \mathbf{B}^\varepsilon + (1 - c_1) \mathbf{E}_0 \right] : \left[c_1 \mathbf{B}^\varepsilon + (1 - c_1) \mathbf{I} \right]^{-1}$$

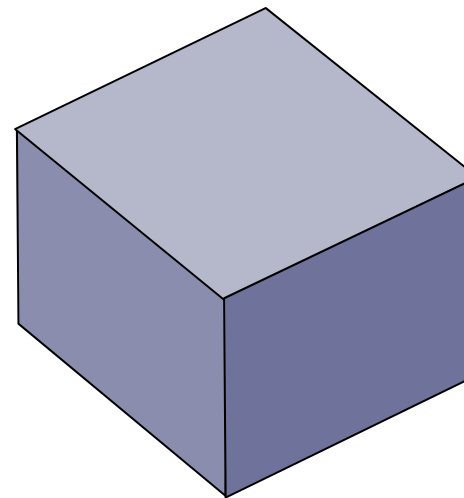
$$\mathbf{B}^\varepsilon = \left(\mathbf{I} + \mathcal{E}_{(\mathbf{I}, \omega)} : \left[\mathbf{E}_0^{-1} : \mathbf{E}_1 - \mathbf{I} \right] \right)^{-1} \quad \mathcal{E}_{(\mathbf{I}, \omega)} : \text{Eshelby Tensor}$$

Material modelling for composite materials

Micro Scale



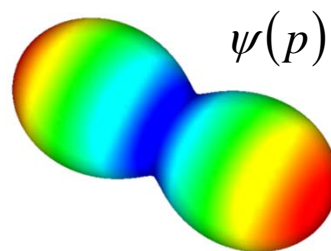
Macro Scale



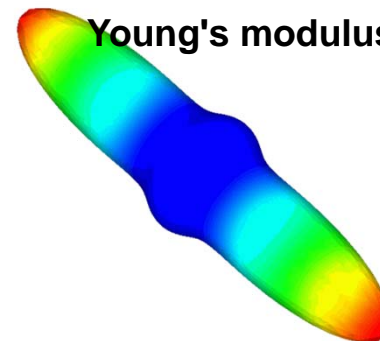
Homogenization:



Orientation distribution function

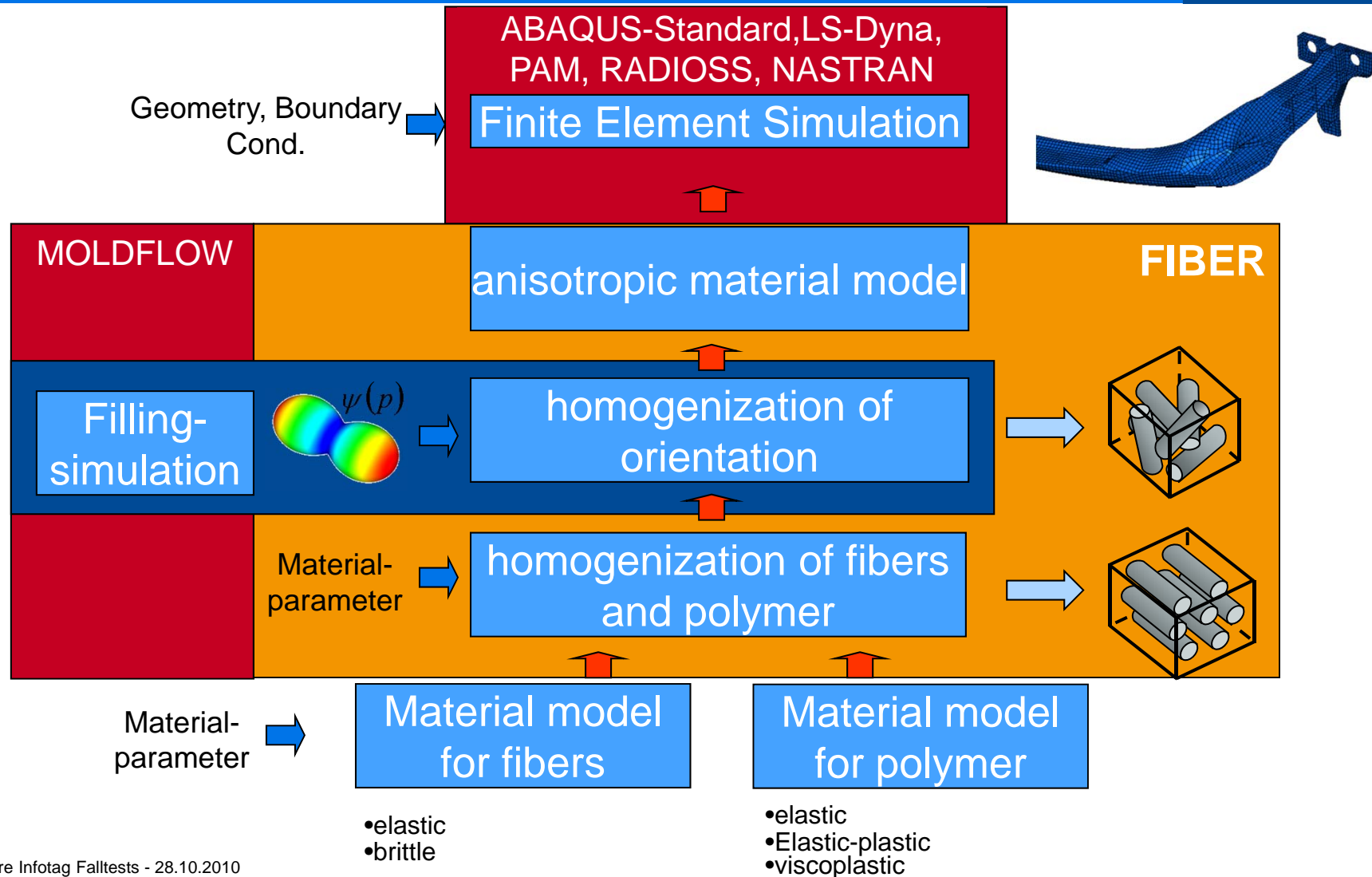


Young's modulus



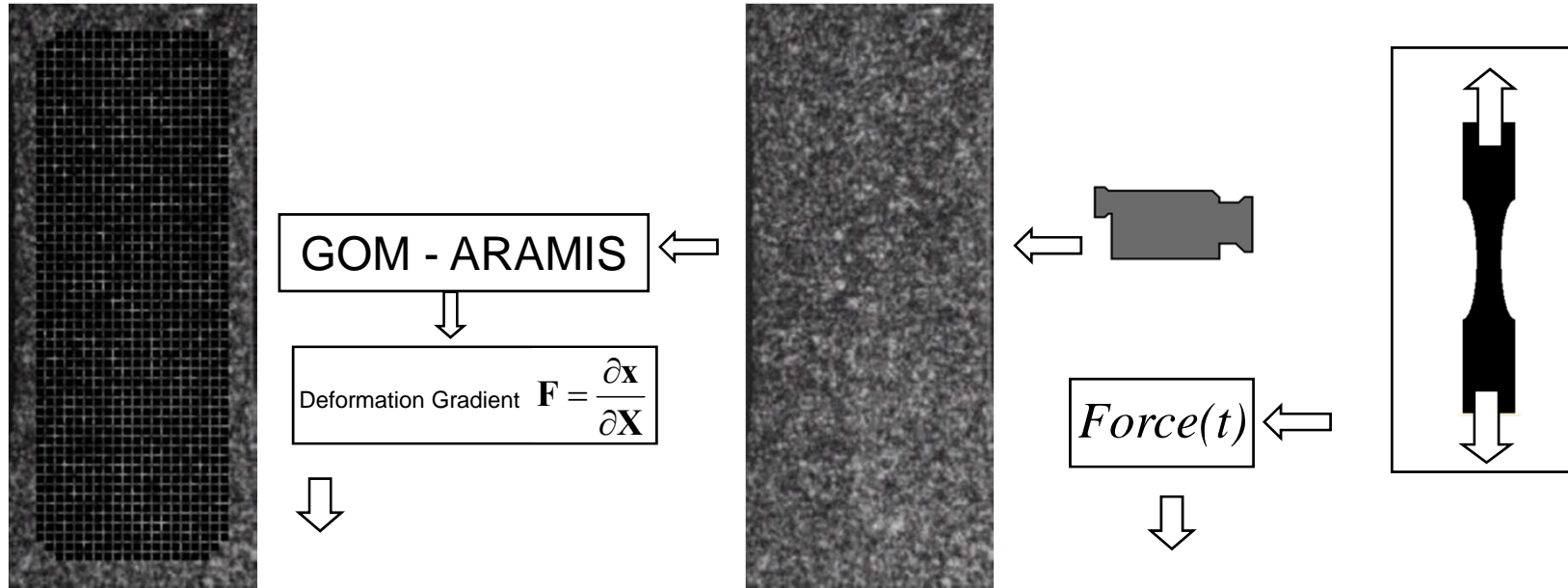
Integrative Simulation ULTRASIM™

Data flow structure



Material Measurements

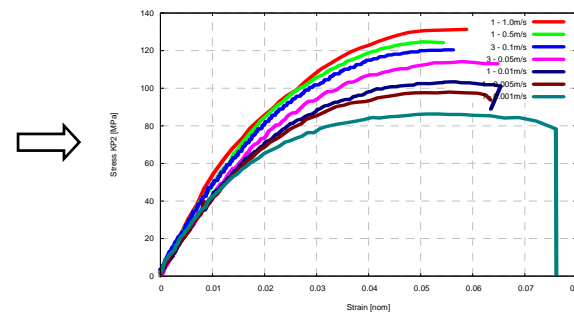
Data Flow



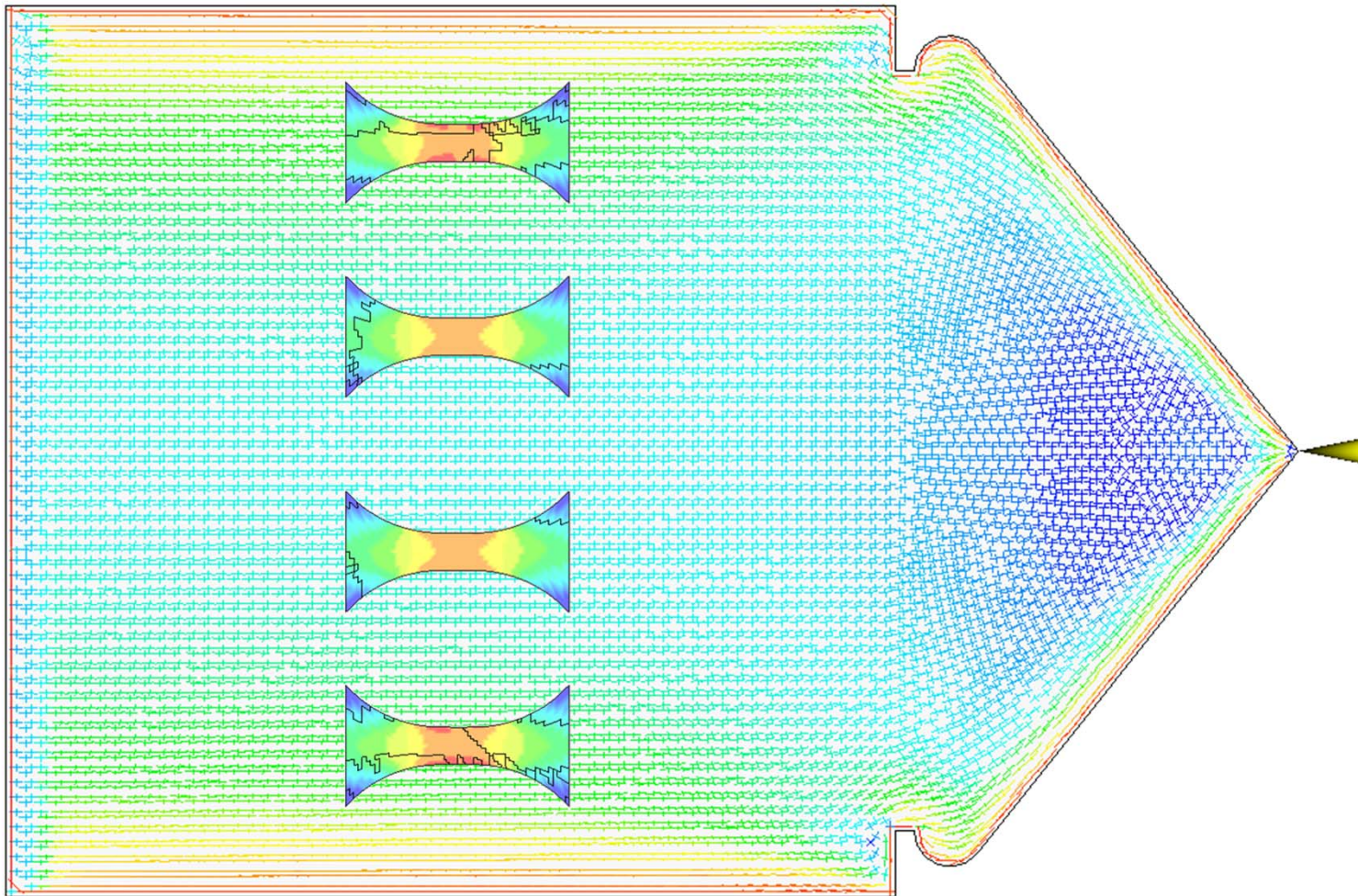
BASF Software

$\mathbf{F} = \frac{\partial \mathbf{x}}{\partial \mathbf{X}}$ → Strain: $\mathbf{E} = \frac{1}{2}(\mathbf{F}^T \mathbf{F} - \mathbf{G})$
 $\mathbf{e} = \frac{1}{2}(\mathbf{g} - \mathbf{F}^{-T} \mathbf{F}^{-1})$

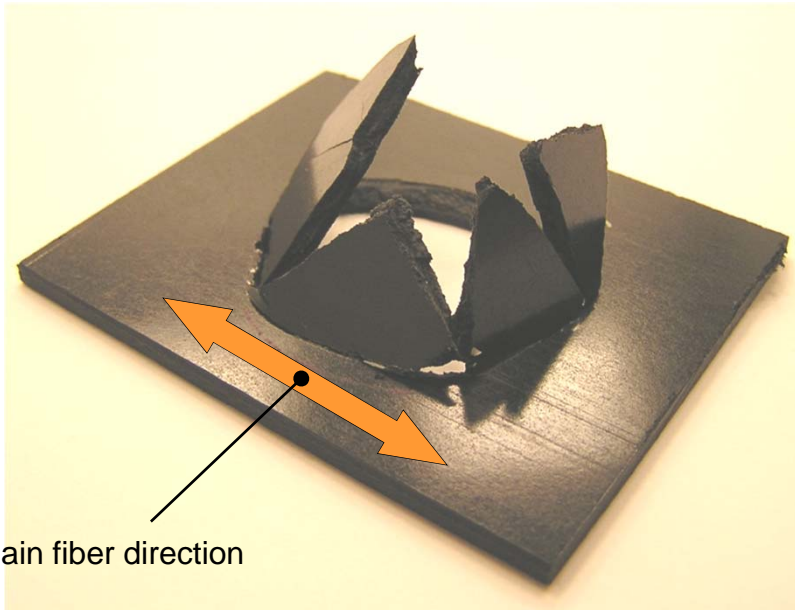
$S^{11} = \frac{Force(t)}{A_0}$ Stress: $\boldsymbol{\sigma} = \frac{1}{J} \mathbf{F} \mathbf{S} \mathbf{F}^T$



Average Fiber orientation and Failure variable



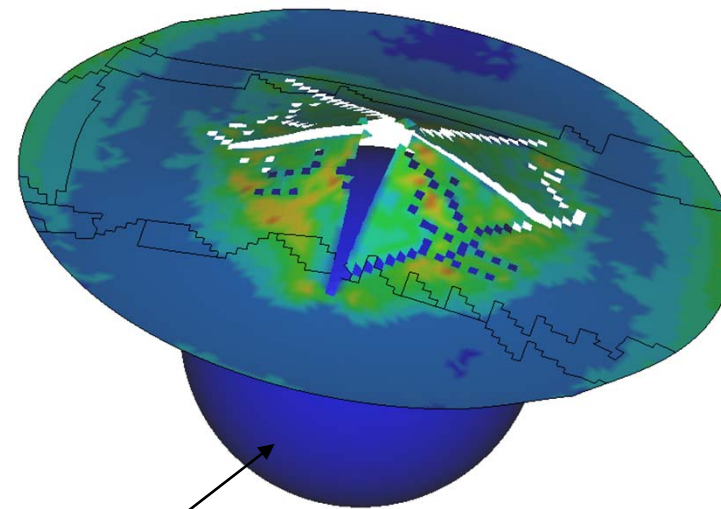
Penetration Experiment



Main fiber direction

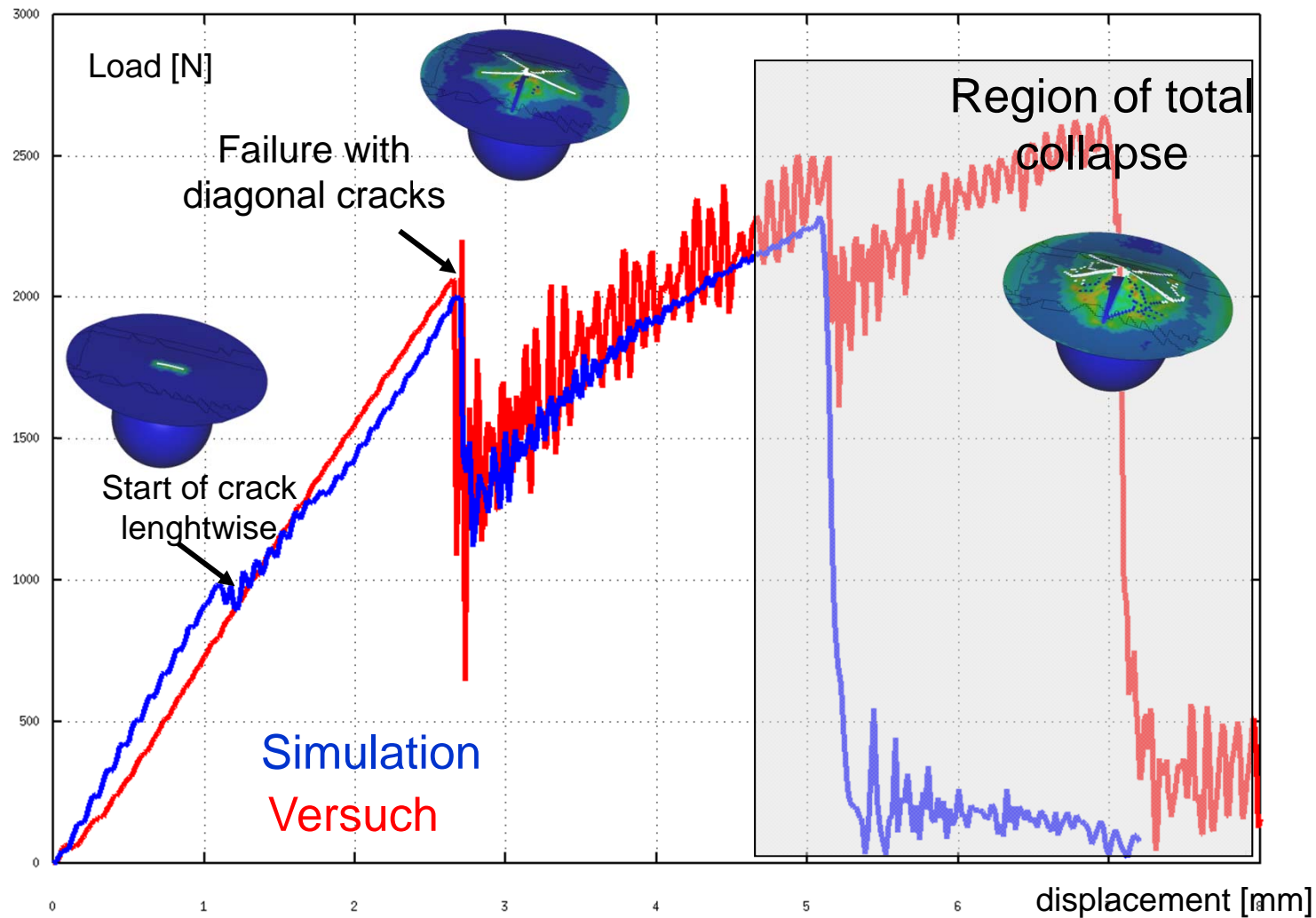
Biaxial Stress

Fixed by axisymmetric die



punch

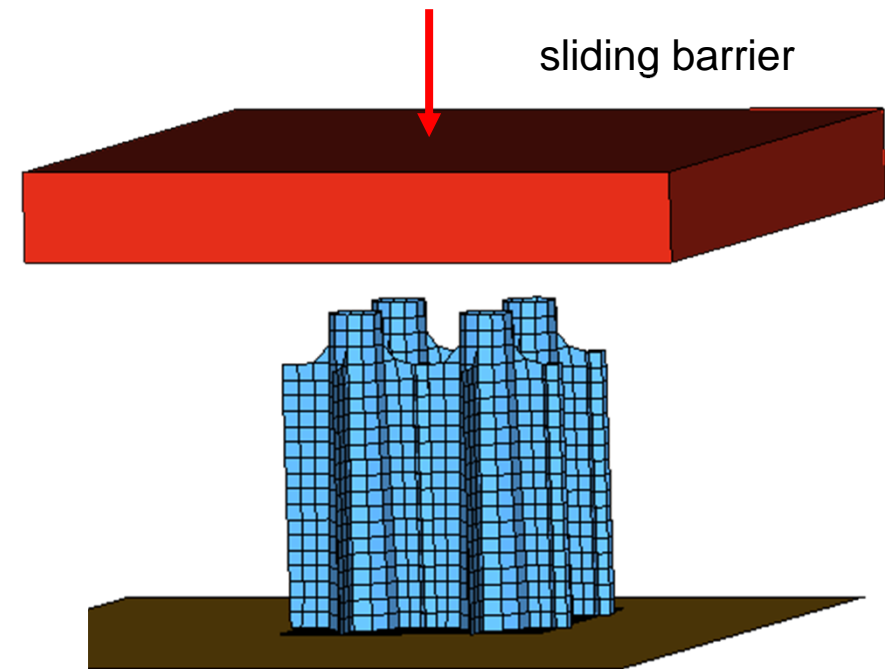
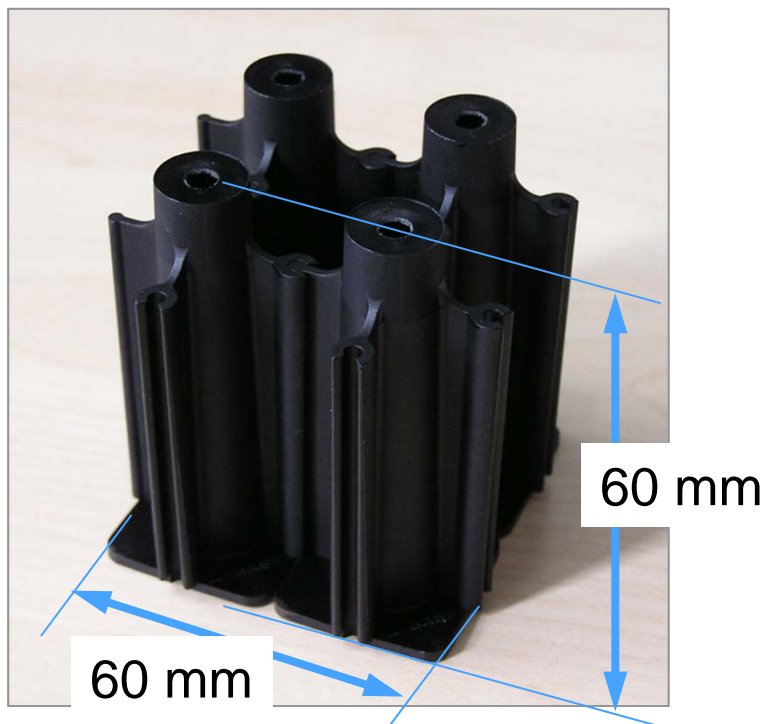
Simulation of penetration experiment



Test Specimen for compression load

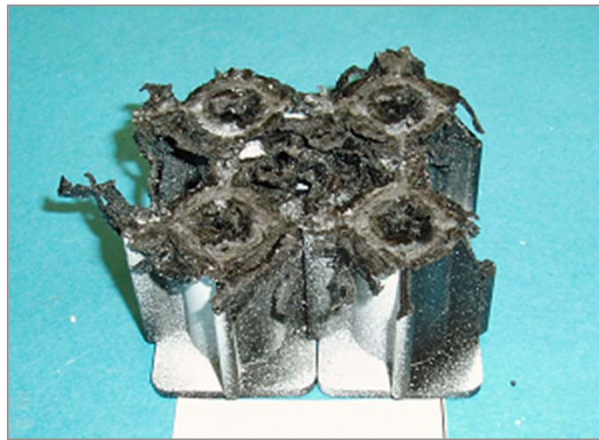
Specimen is designed for controlled collapse

Material: B3WG6 CR (PA6 GF30%)

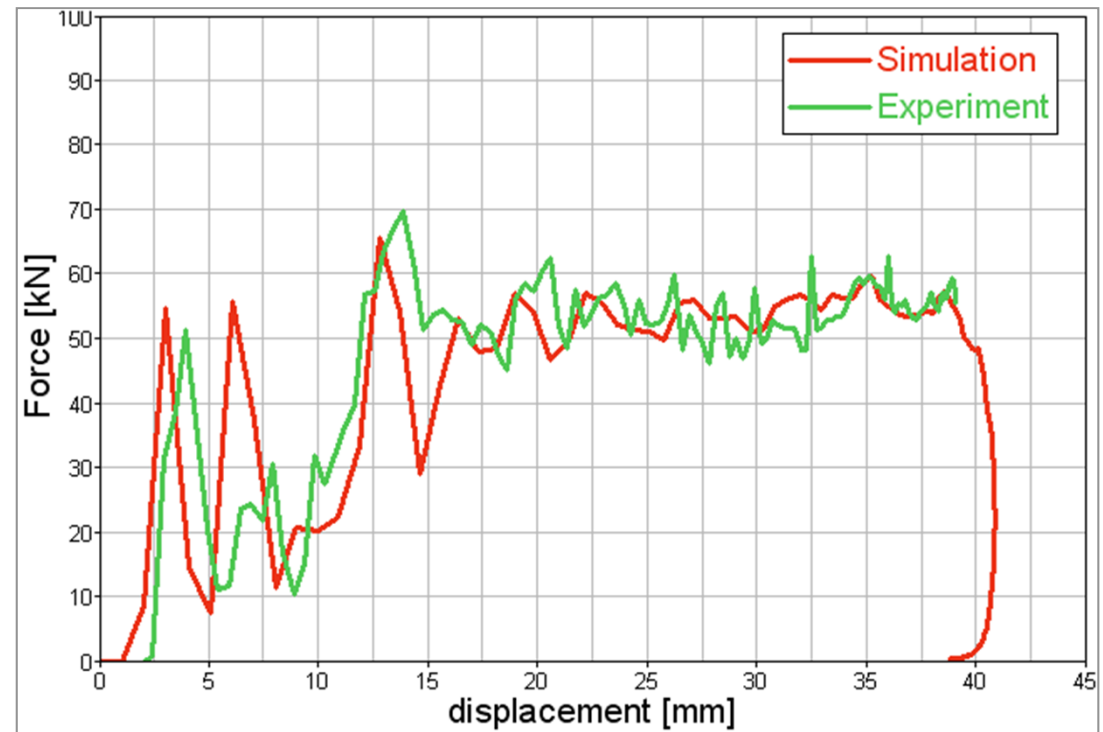


Test-specimen under compression load

Simulation and Experiment



60 mm

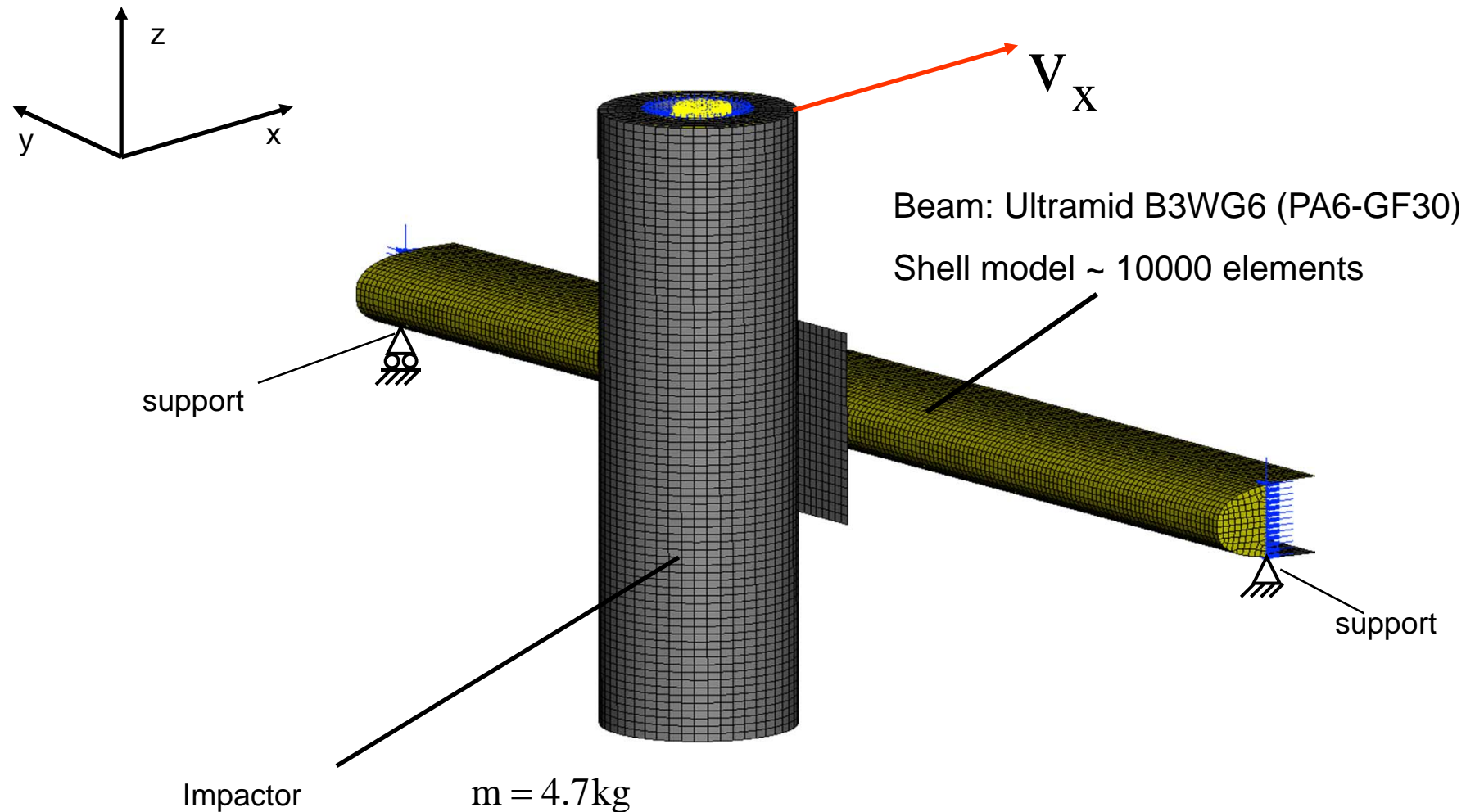


Illustrated Example

Importance of Fiber Orientation

Mechanical test set-up

Lower leg shot on supported beam



Illustrated Example

Importance of Fiber Orientation

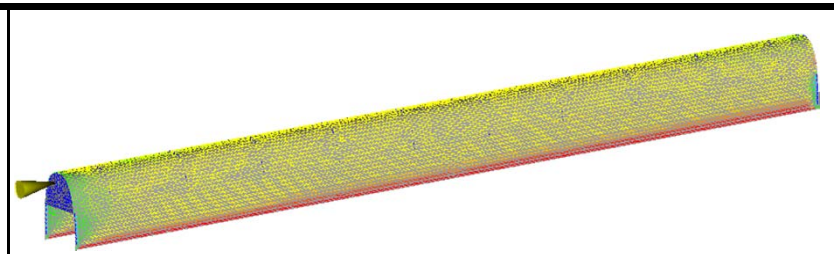
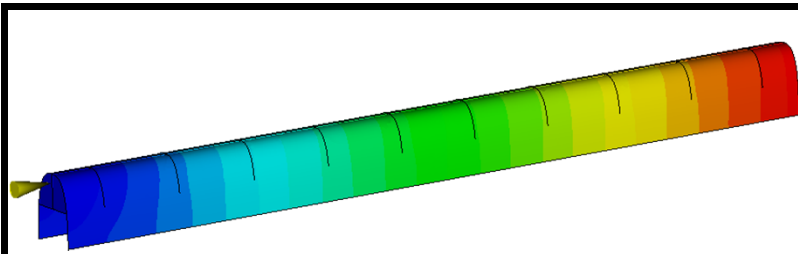
Filling pattern and fiber orientation
Filling calculation with MOLDFLOW

BASF
The Chemical Company

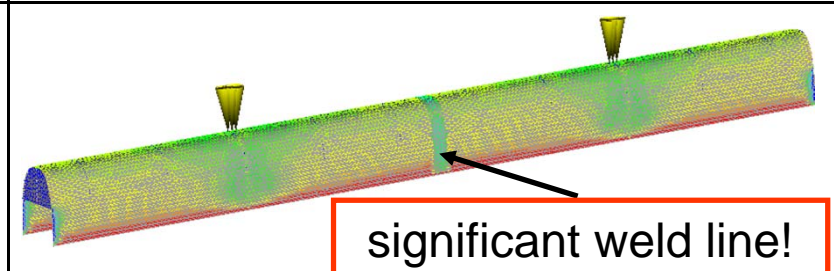
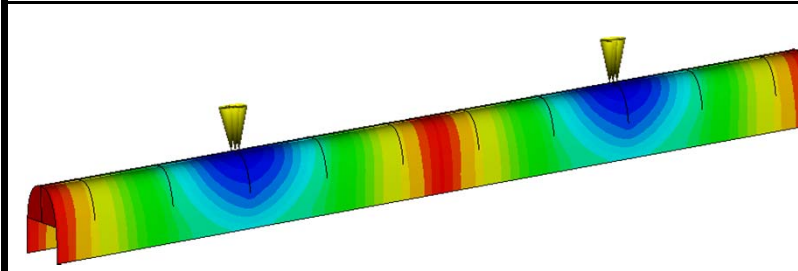
Filling pattern

Fiber orientation

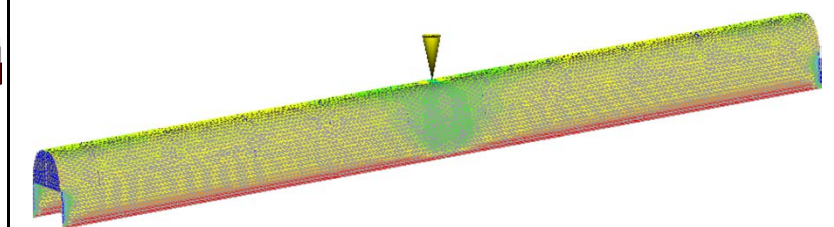
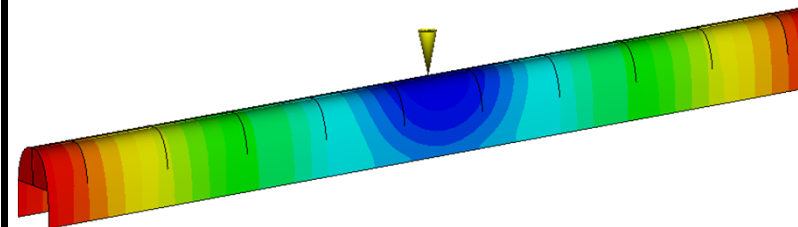
Case A



Case B

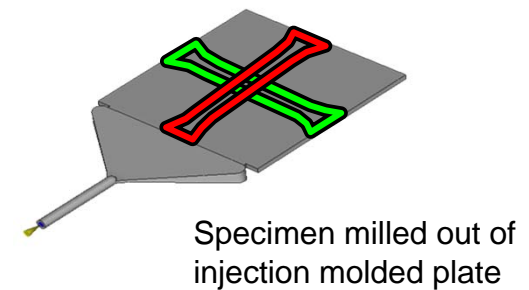
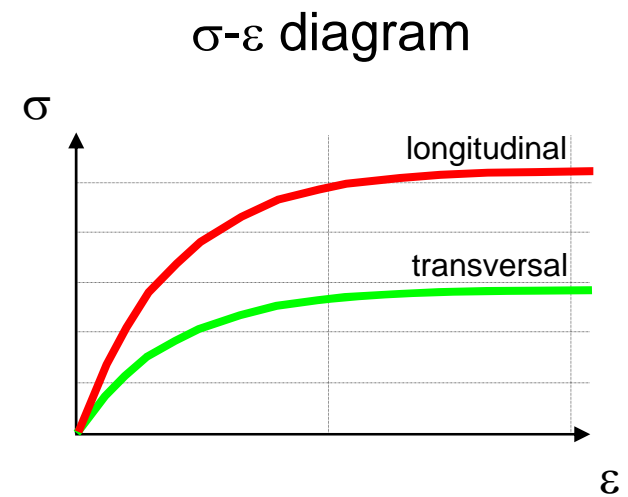
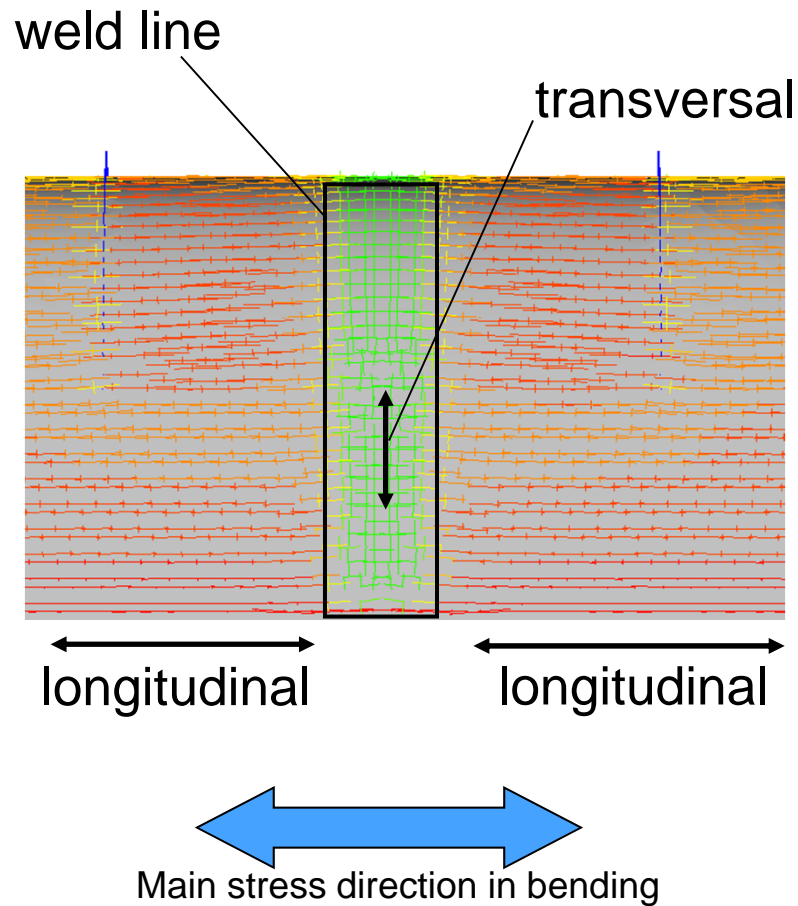


Case C



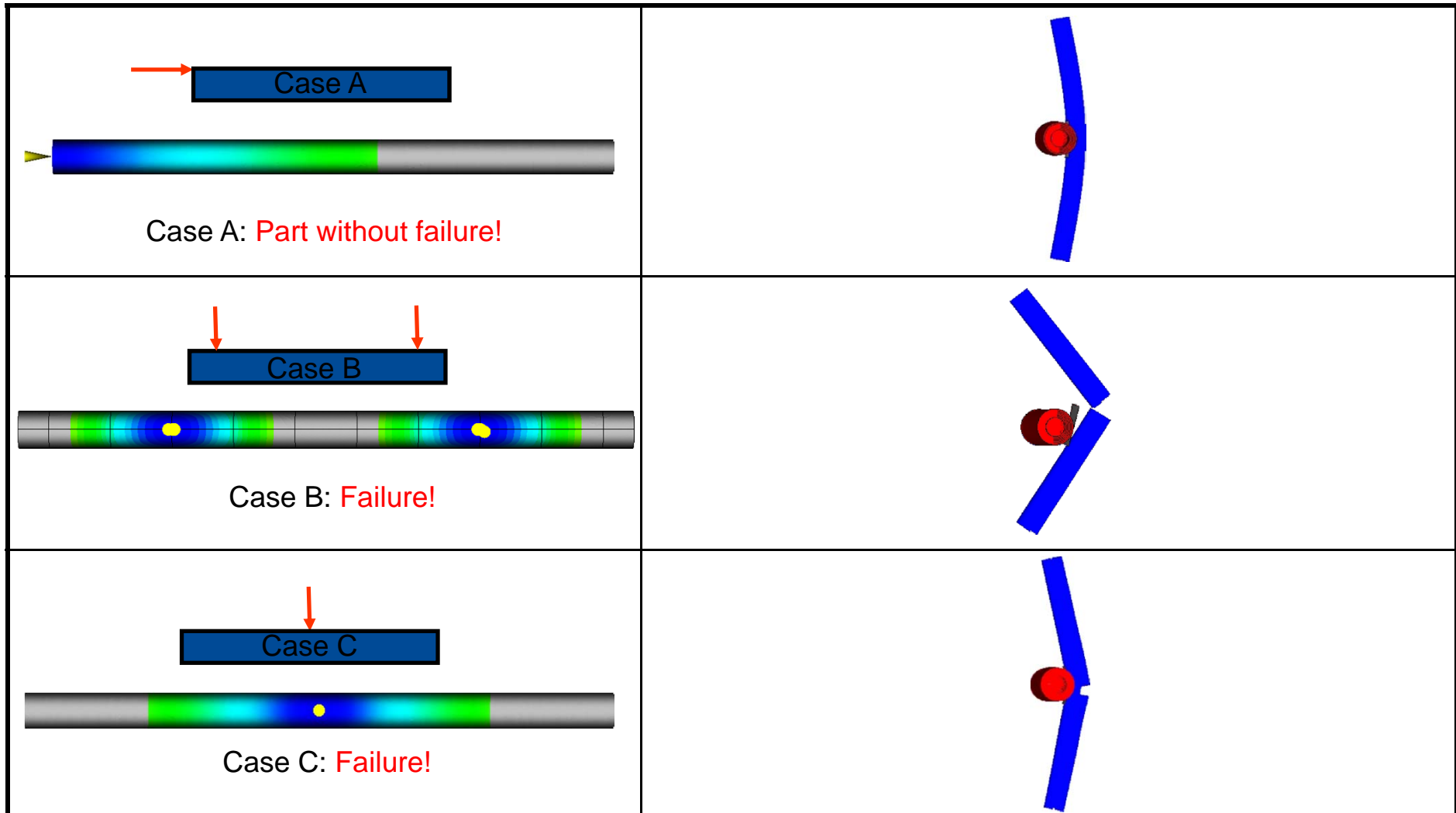
Detail of fiber orientation in weld line

Case B



Illustrated Example Importance of Fiber Orientation

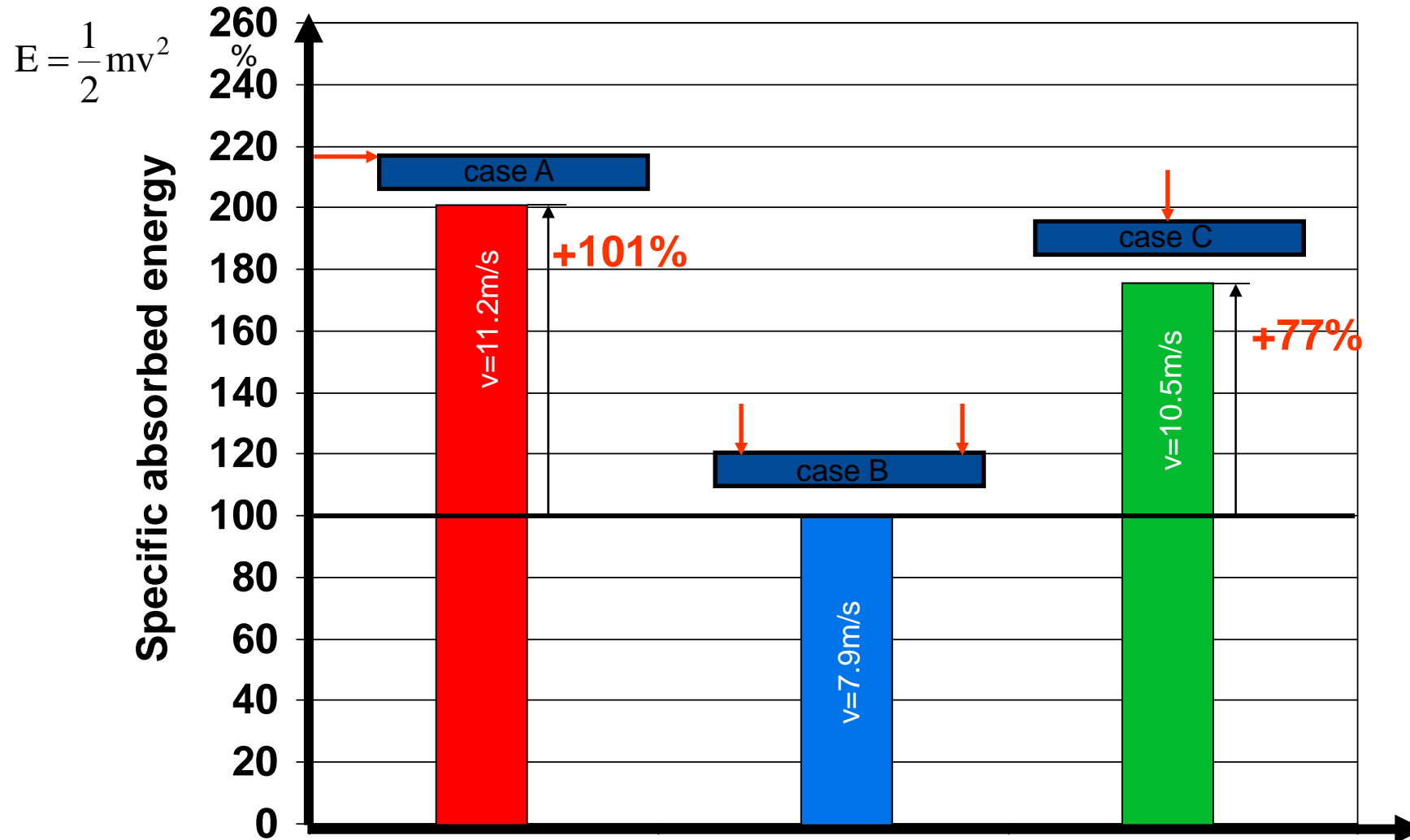
Results with $v=11.2$ m/s



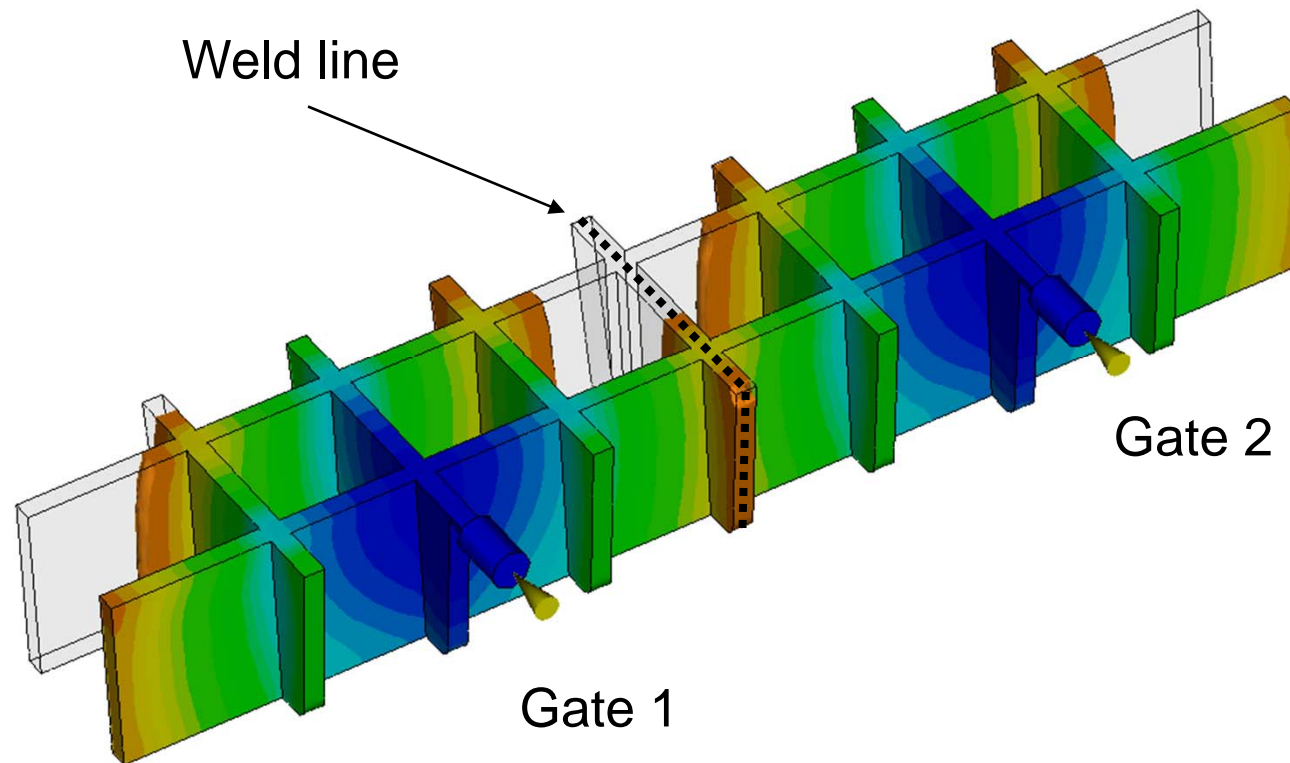
Illustrated Example

Importance of Fiber Orientation

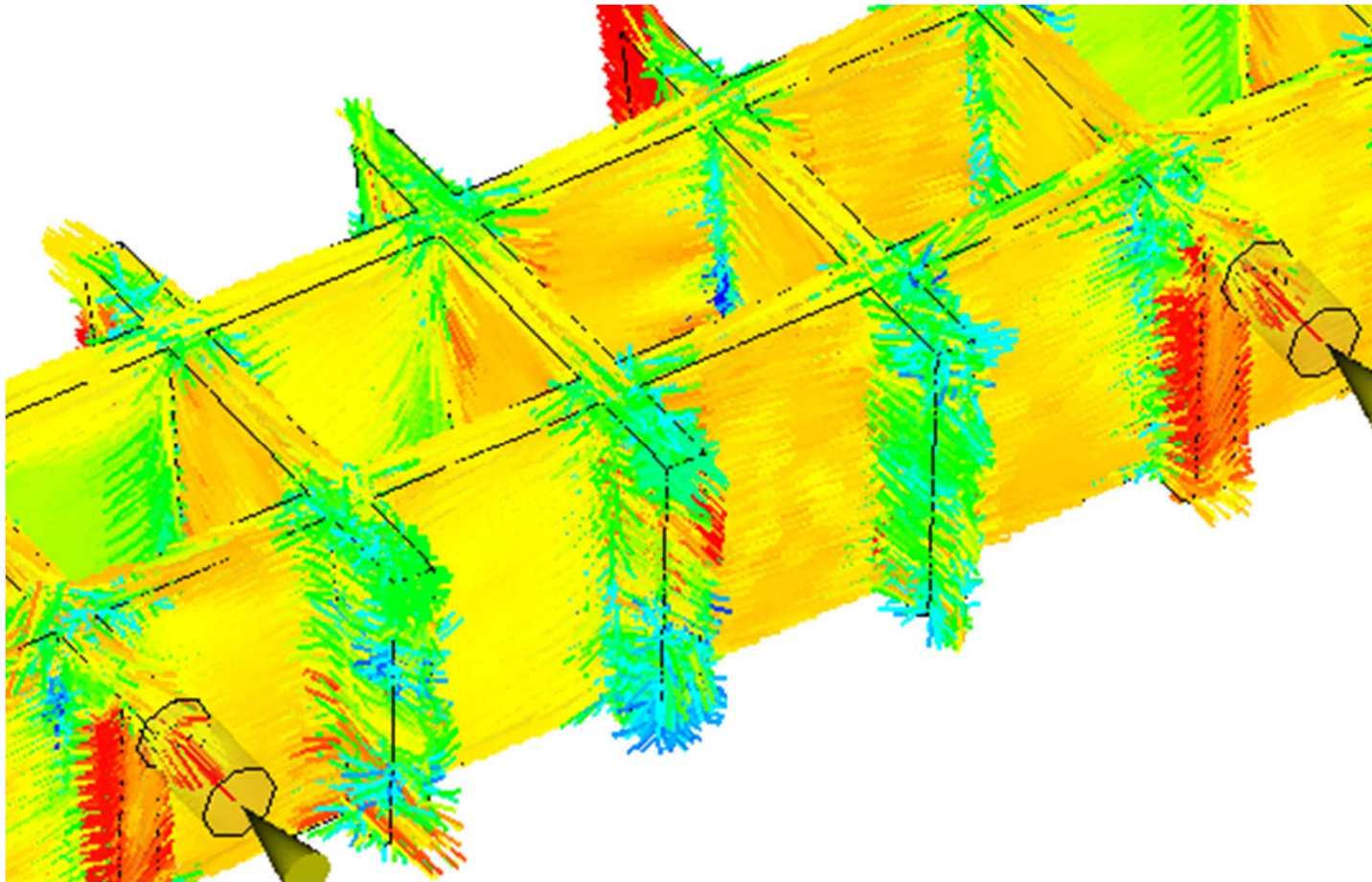
Comparison of absorbed energy



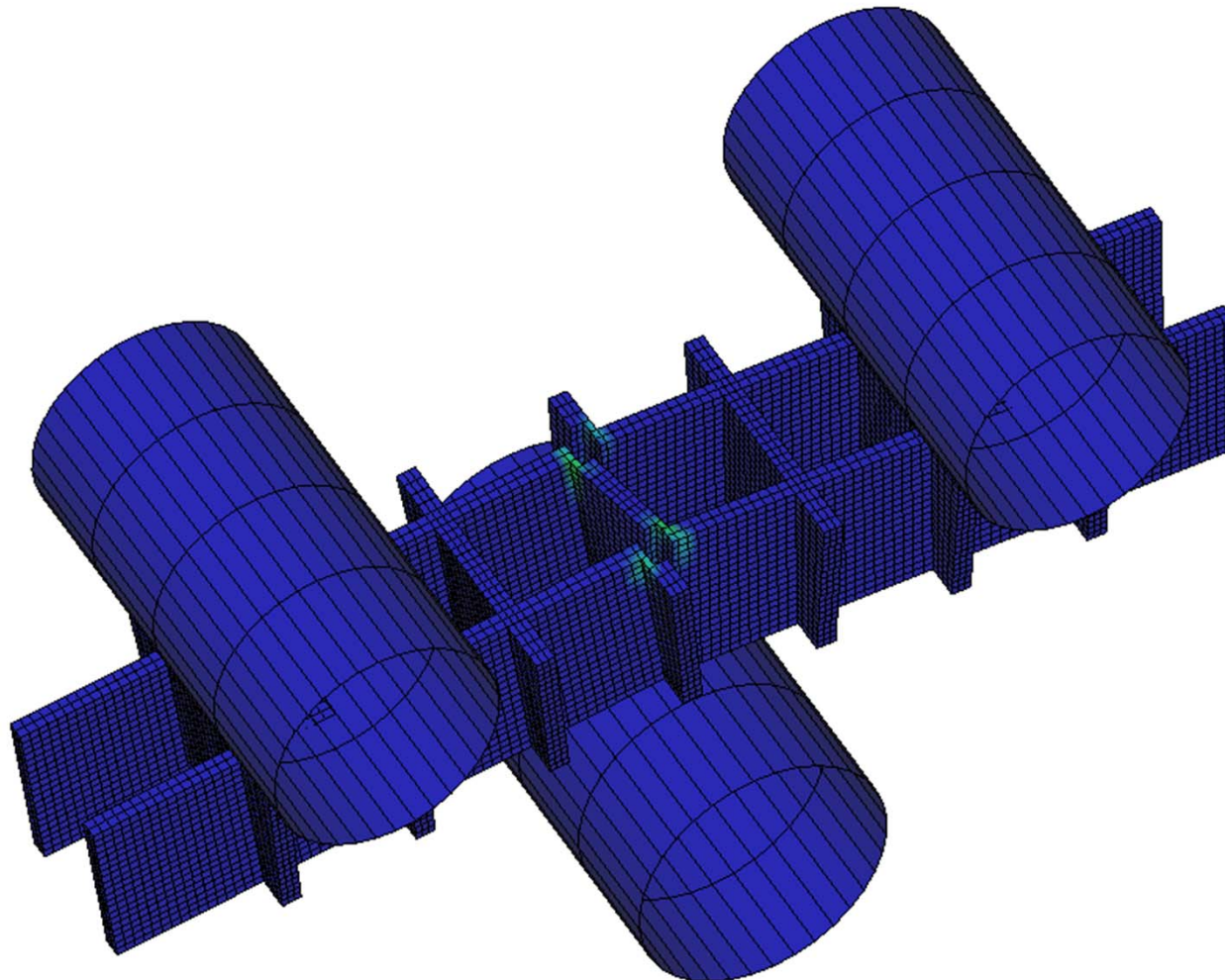
Filling pattern and weld line



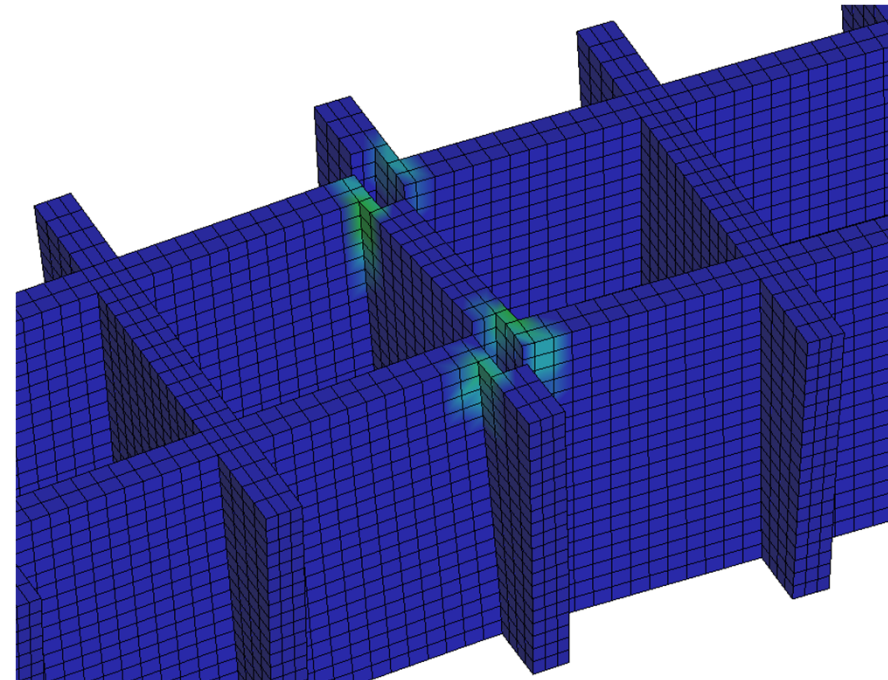
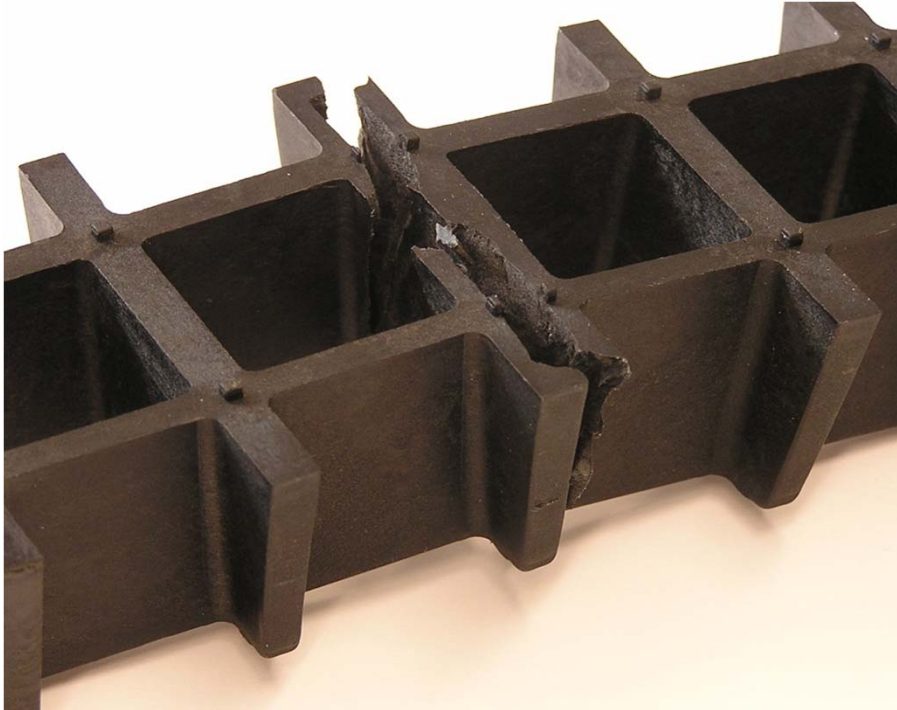
Fiber orientation



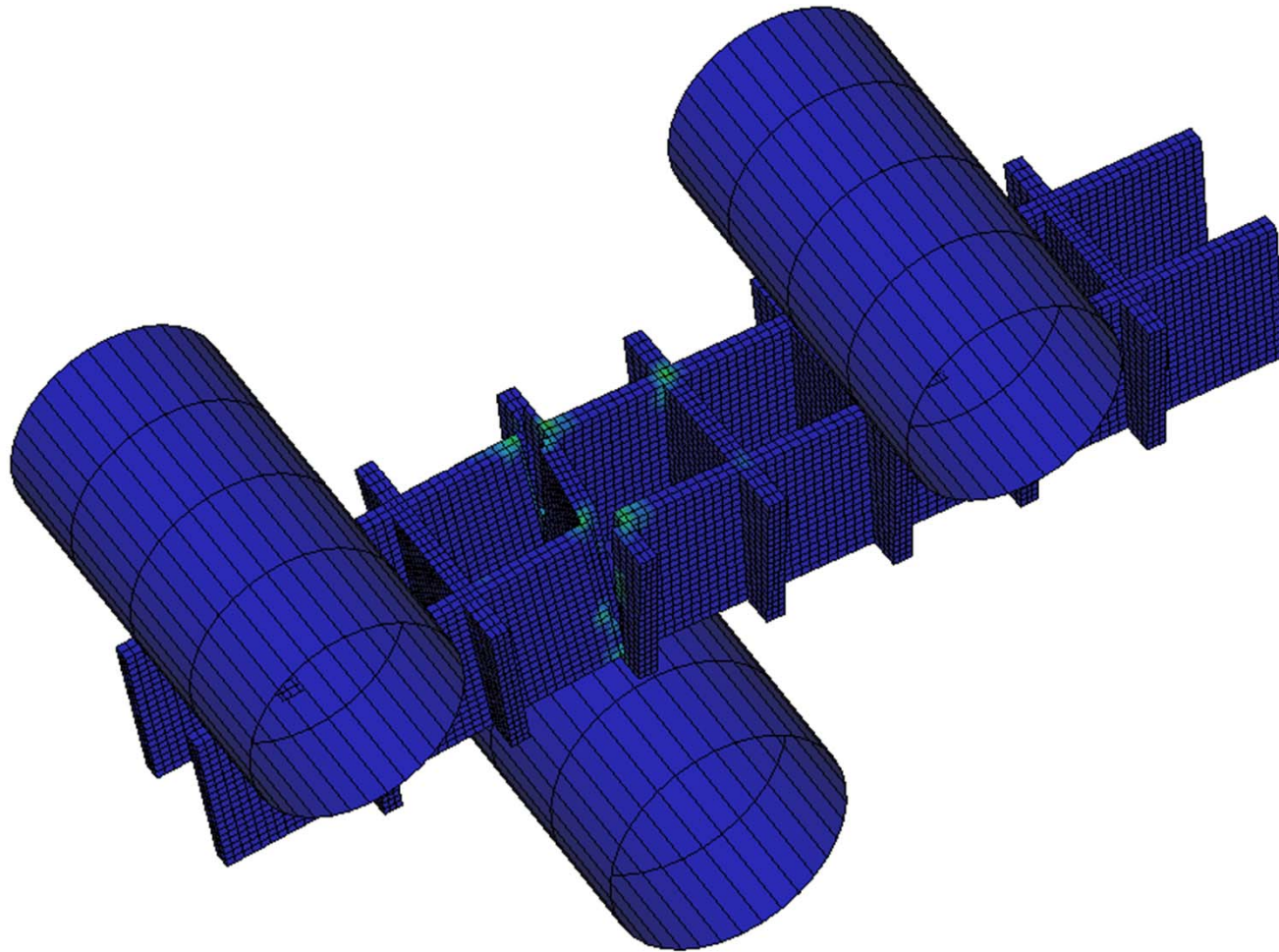
Symmetric bending



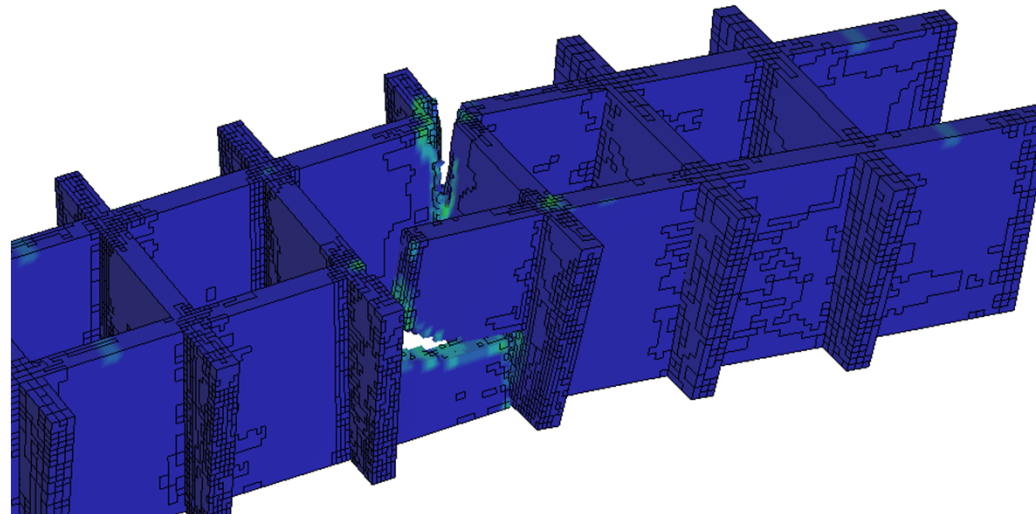
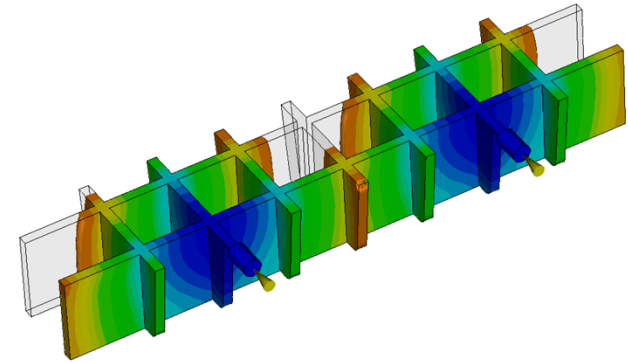
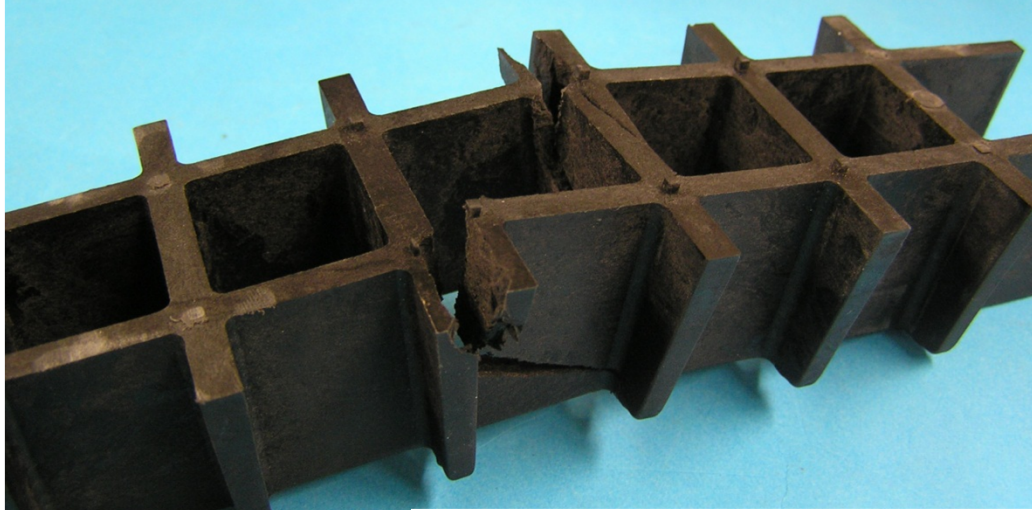
Failure in weld line - symmetric bending



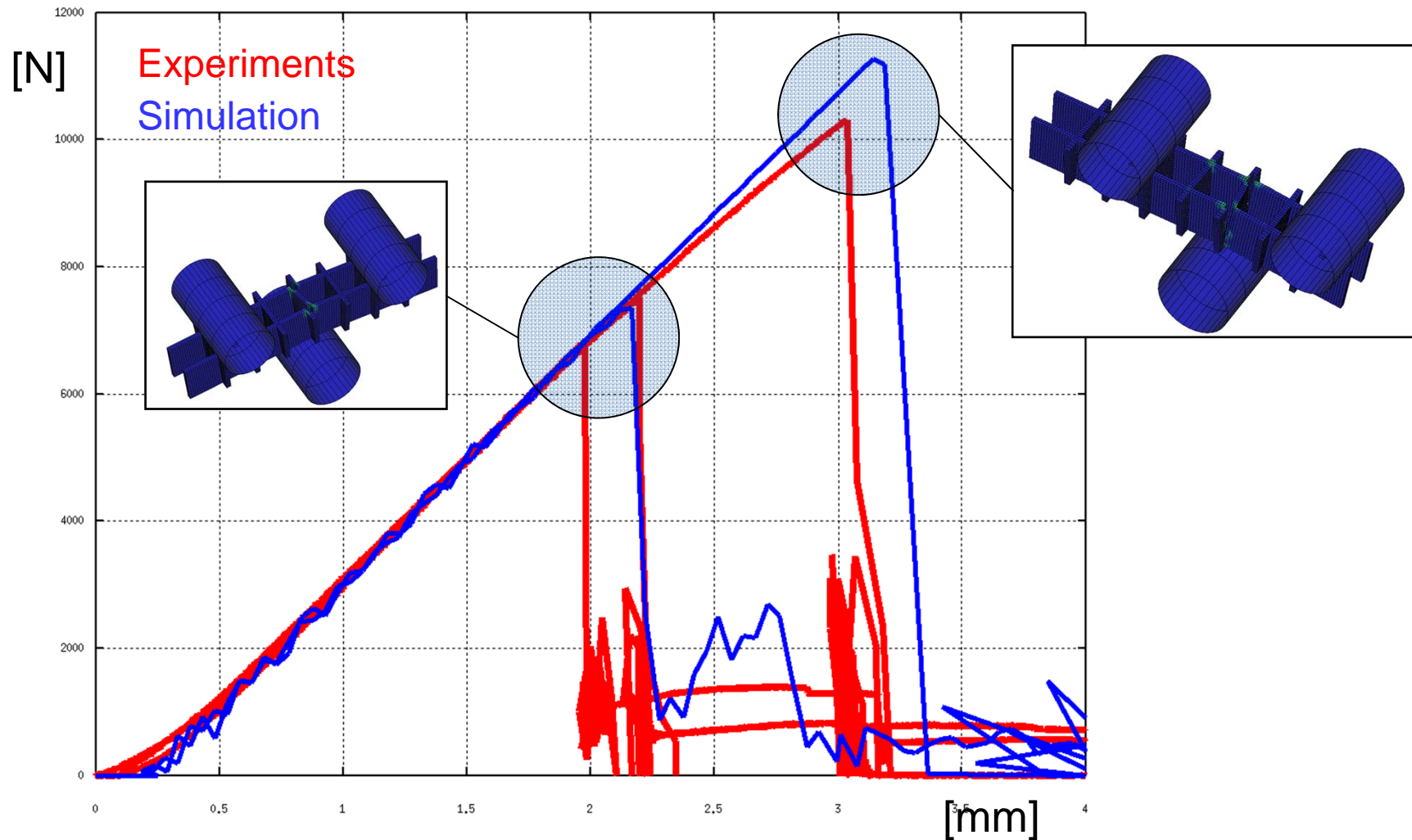
Bending with offset



Complex Material behaviour



Force versus Displacement - Curve



- Simulation von Falltests stellt neue Herausforderungen
 - Kinematik → Kontakt
 - Abbildung von Verbindungen → Beispiel Schraube
 - Materialverhalten → ULTRASIM
 - Versagen → ULTRASIM
- Materialmodellierung mit BASF ULTRASIM™
- Bindenahteinfluss bei faserverstärkten Kunststoffen
- Beispiele

Vielen Dank für Ihre Aufmerksamkeit!